

反陽子ヘリウム原子分光で 反陽子の重さを量る

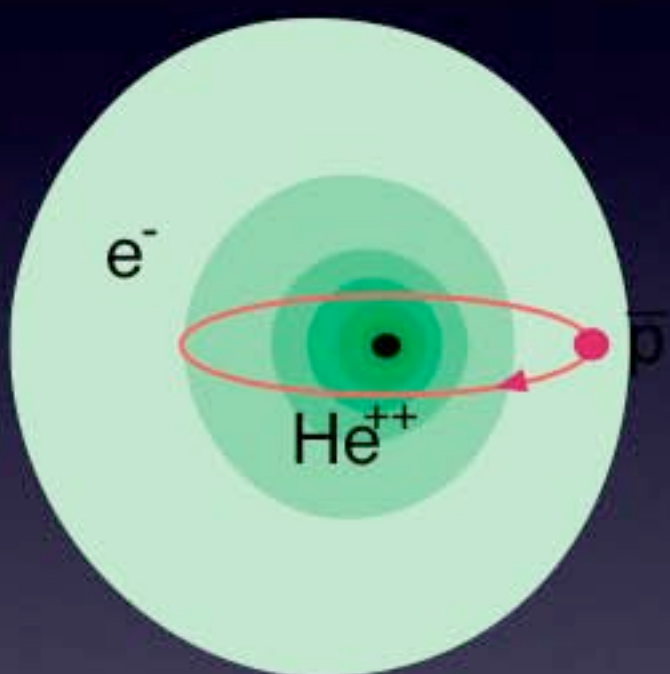
早野 龍五

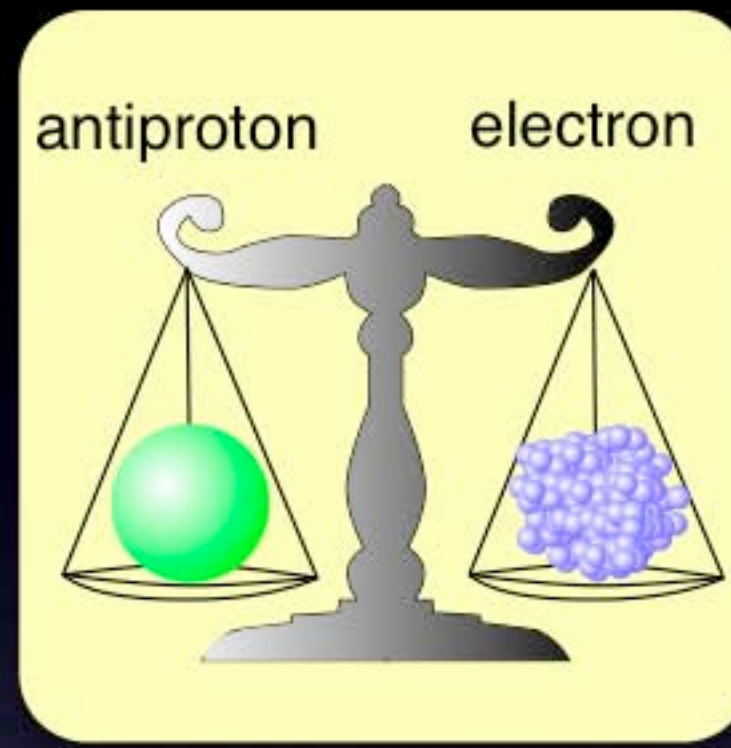
The University of Tokyo



THE UNIVERSITY OF TOKYO

RIKEN Colloquium, Oct 16, 2007





CPT定理



陽子・電子質量比

Determination of the Antiproton-to-Electron Mass Ratio by Precision Laser Spectroscopy of $\bar{p}\text{He}^+$

M. Hori,^{1,2} A. Dax,² J. Eades,² K. Gomikawa,² R. S. Hayano,² N. Ono,² W. Pirkl,² E. Widmann,³ H. A. Torii,⁴ B. Juhász,^{5,3} D. Barna,^{6,2} and D. Horváth⁶

¹CERN, CH-1211 Geneva 23, Switzerland

²Department of Physics, University of Tokyo, 7-3-1 Hongo, Bunkyo-ku, Tokyo 113-0033, Japan

³Stefan Meyer Institut für Subatomare Physik, Boltzmanngasse 3, Vienna 1090, Austria

⁴Institute of Physics, University of Tokyo, Komaba, Meguro-ku, Tokyo 153-8902, Japan

⁵Institute of Nuclear Research of the Hungarian Academy of Sciences, H-4001 Debrecen, Hungary

⁶KFKI Research Institute for Particle and Nuclear Physics, H-1525 Budapest, Hungary

(Received 10 April 2006; published 19 June 2006)

Antiprotonic helium and CPT invariance,
R.S. Hayano, M. Hori, D. Horvath, E. Widmann,
Reports on Progress in Physics 70, 1–74 (2007)

始

introduction
(&conclusion)

陽子の質量は電子質量の約1800倍
(理科教科書)

もうちょっと詳しく言うと
(理科年表)

陽子質量は電子質量の
1836.1526725 倍

1 2 3 4 5 6 7 8 9 10 11

電子との質量比

1 2 3 4 5 6 7 8 9 10

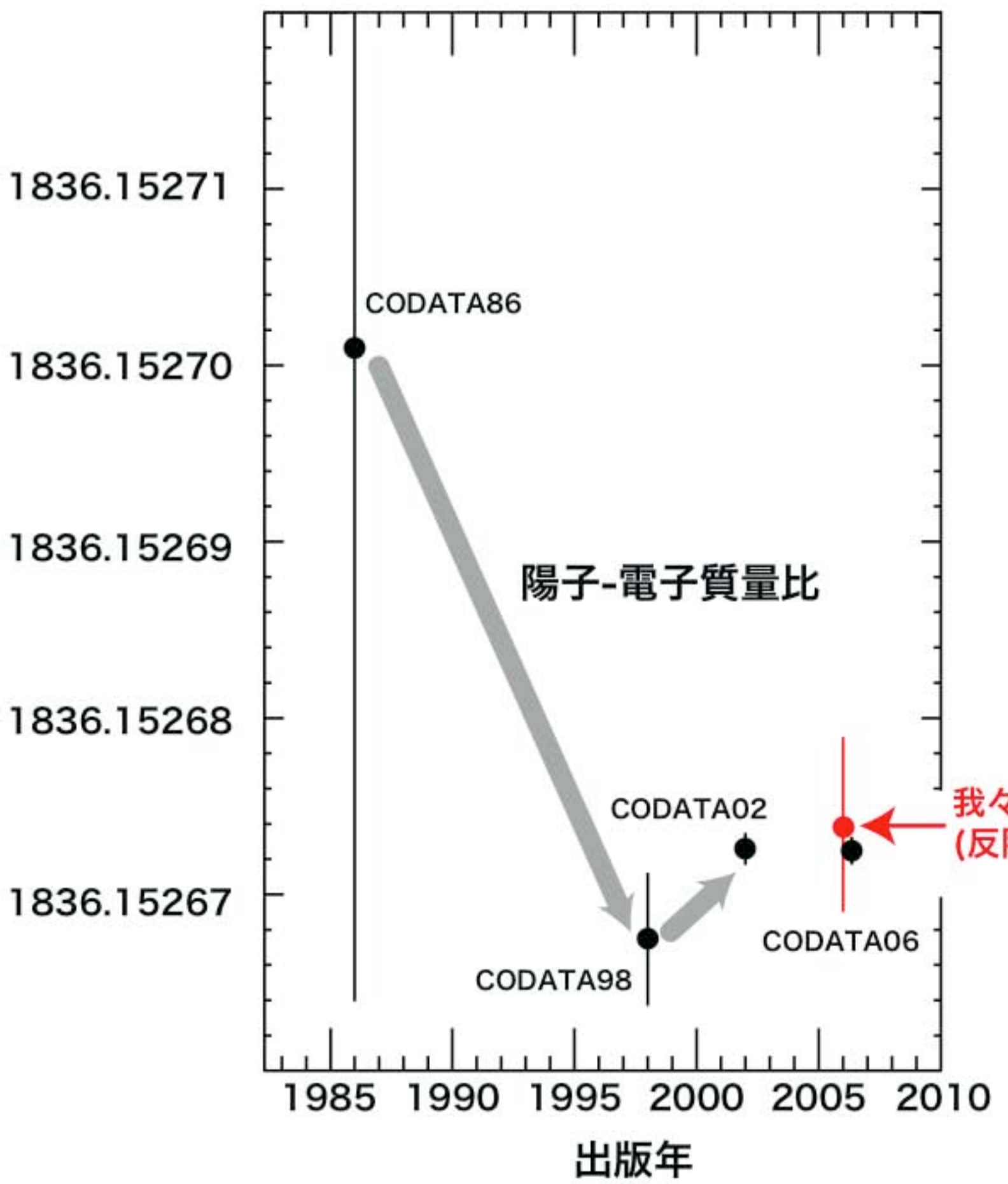
陽子 1836.1526725

我々2006→ 反陽子 1836.152674
± 0 . 0 0 0 0 0 5

9桁目までは完全に一致

10桁目も誤差の範囲で一致

グラフで示すと



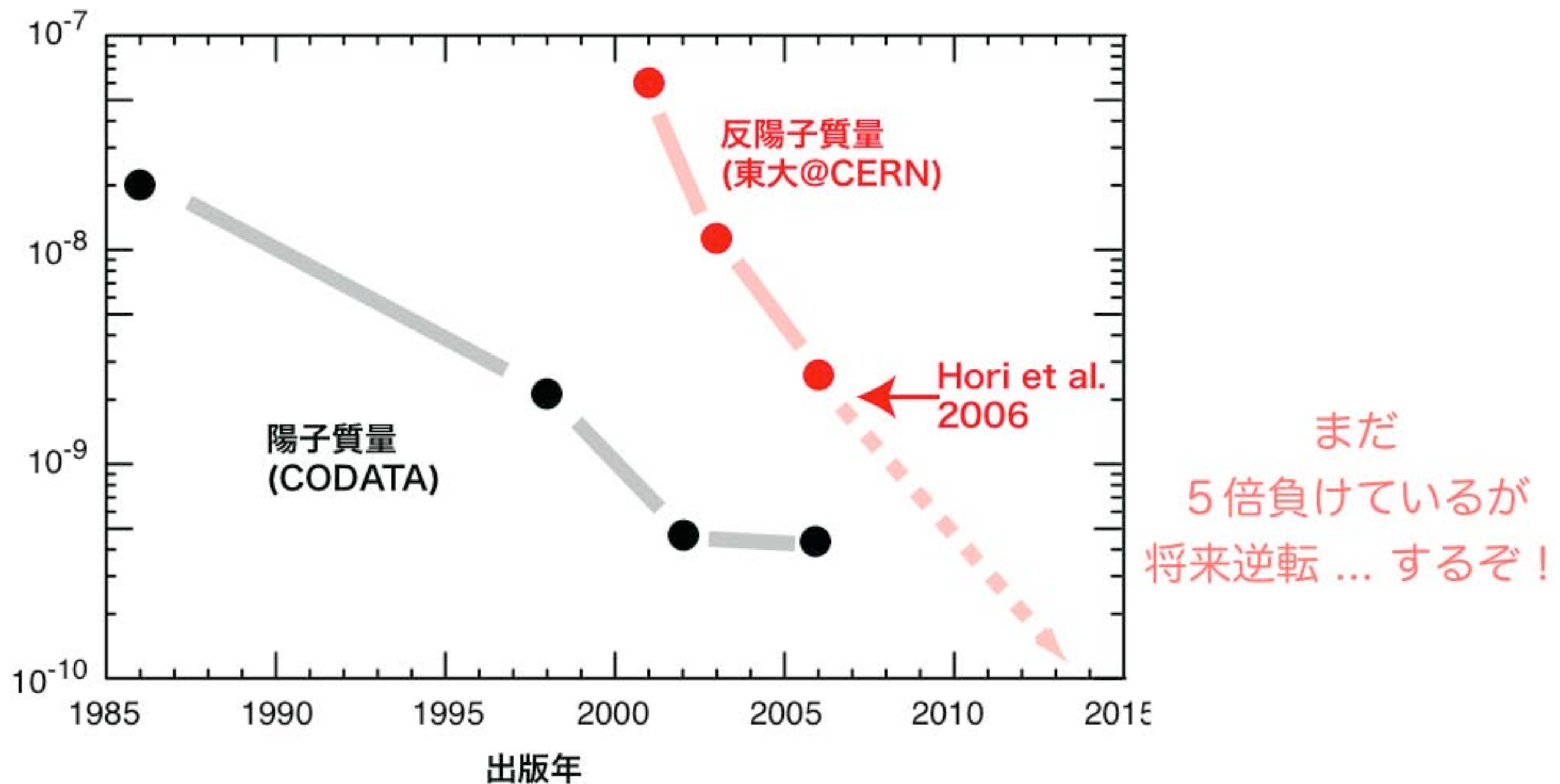
1. 物質・反物質対称性の
精密検証

2. 基礎物理定数への貢献

近未来の可能性

“理科年表更新”

相対標準不確かさ



基礎物理定数の例

CODATA 2006より

(単位系に深く関係している)

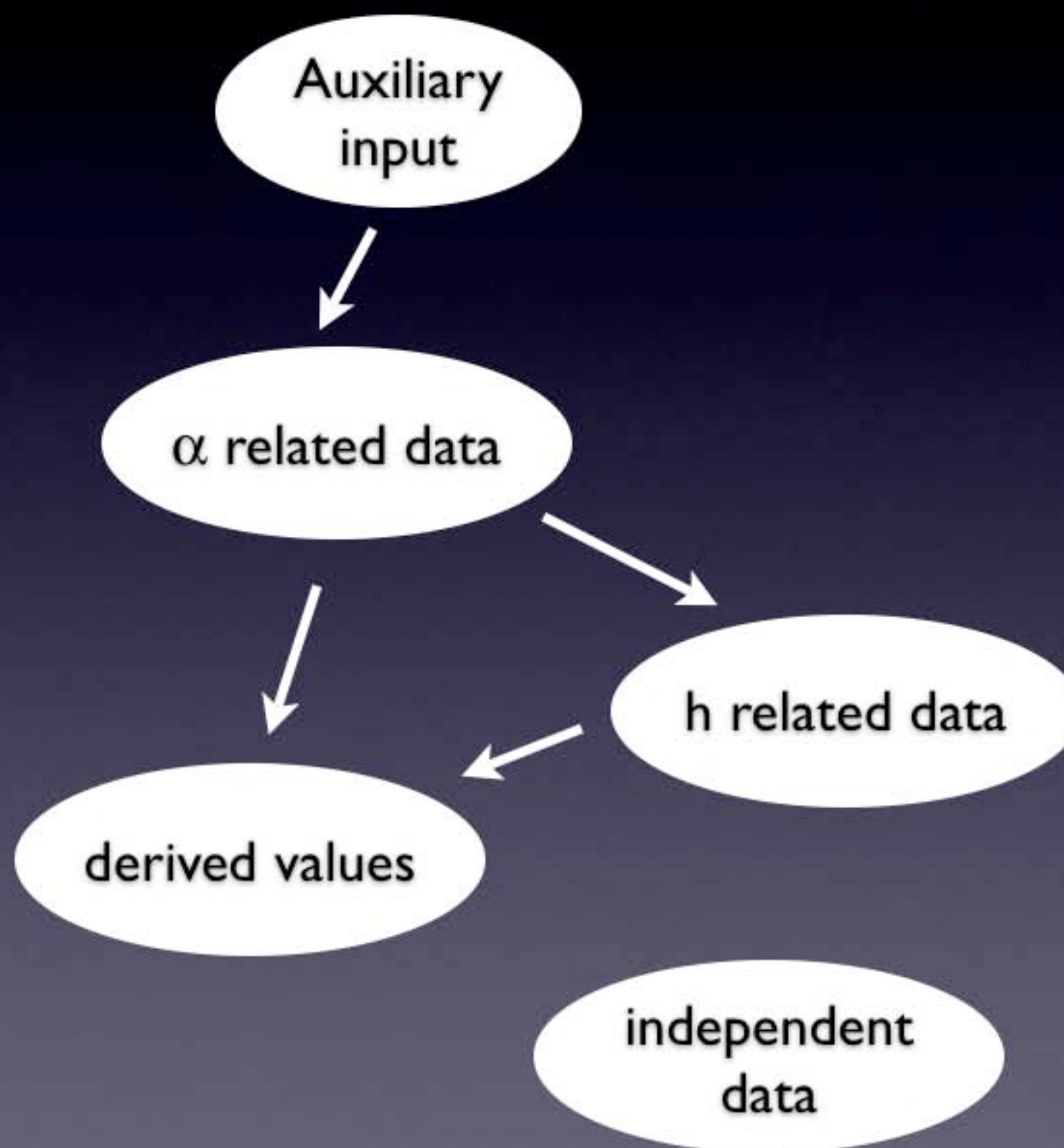
ppb=10億分の1

物理定数	数値 <small>(下線の桁に不確定性がある)</small>	単位	精度
光速	299 792 458	m s ⁻¹	定義値
万有引力定数	6.674 <u>3</u>	$\times 10^{-11} \text{ m}^3 \text{ kg}^{-1} \text{ s}^{-2}$	5桁 100000 ppb
アボガドロ数	6.022 141 <u>8</u>	$\times 10^{23} \text{ mol}^{-1}$	8桁 50 ppb
プランク定数	6.626 068 <u>9</u>	$\times 10^{-34} \text{ J s}$	8桁 50 ppb
陽子の質量	1.672 621 <u>64</u>	$\times 10^{-27} \text{ kg}$	9桁 50 ppb
電子の電荷	1.602 176 <u>49</u>	$\times 10^{-19} \text{ C}$	9桁 25 ppb
陽子・電子質量比	1836.152 672 <u>5</u>		11桁 0.43 ppb
リュードベリ定数	10 973 731.568 <u>52</u>	m ⁻¹	13桁 0.0066 ppb

T.W. Hänsch et al., hydrogen spectroscopy
using frequency comb, Nobel Prize 2005

CODATA adjustment flowchart

from S.G. Karshenboim



Auxiliary data = the most accurate data which are to be evaluated prior to the adjustment, R_∞ , $\underline{m_e/m_p}$, ...

Arrows are equations

Derived: m_p [kg], m_e [MeV/c²], etc...

ちなみに
 m_p/m_e はどうやって量っているか

一様磁場

電子スピン回転周波数 $\propto 1/(電子質量)$



$^{12}\text{C}^{5+}$ サイクロトロン周波数
 $\propto 1/(C\text{原子核質量})$

二つの周波数の比 → 量子電磁力学補正 →
C原子核と電子の質量比 → 陽子・電子質量比

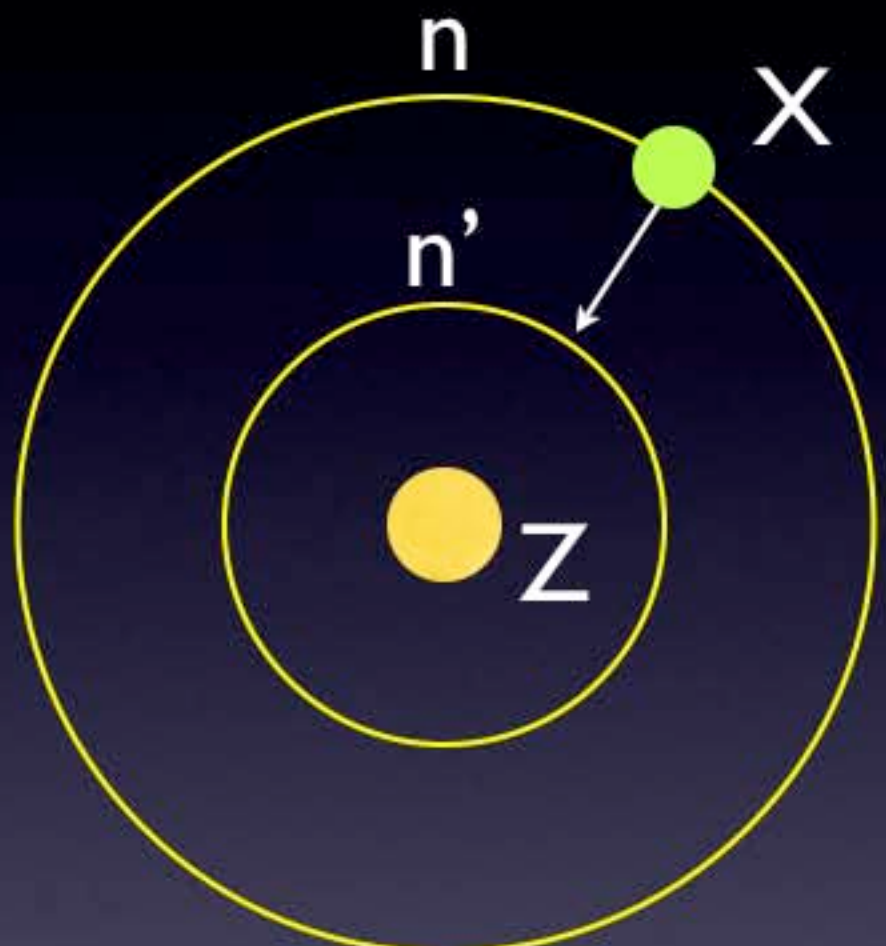
陽子のようにありふれたものすら、質量を10
桁以上の精度で決めるのは容易でない

反陽子のように自然界に存在しないものの質量
をどうやって測定するの？

素粒子の質量 (PDG)

Particle	How?	eV/c ² での精度 ppm	u での精度 ppm
e ⁻	Penning trap	0.078	0.00044
p	Penning trap	0.085	0.00013
μ^+	μ^+e^- laser, HFS	0.085	0.027
π^-	X-ray	2.5	-
K ⁻	X-ray	32.4	-

Exotic atomの脱励起



$$\boxed{\Delta\nu_{n,\ell \rightarrow n',\ell'}} = R c \frac{m_X^*}{m_e} Z^2 \left(\frac{1}{n'^2} - \frac{1}{n^2} \right)$$

Laser resonance to change \bar{p} orbit
 $\rightarrow \bar{p}$ - e mass ratio

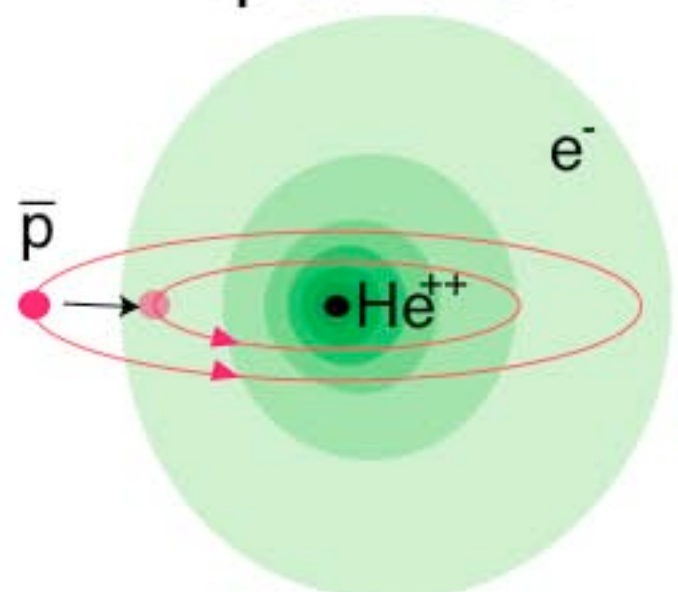
For antiprotonic helium ($\bar{p} + e^- + \alpha$),

$$\nu(n, n') = R c \frac{M_{\bar{p}}^*}{m_e} Z_{\text{eff}}^2 \left(\frac{1}{n^2} - \frac{1}{n'^2} \right)$$

Would be exact for $\bar{p}\text{He}$ ion
approximate for the 3-body system

Z_{eff}^2 : helium charge, shielded by electron (calculated by theory)

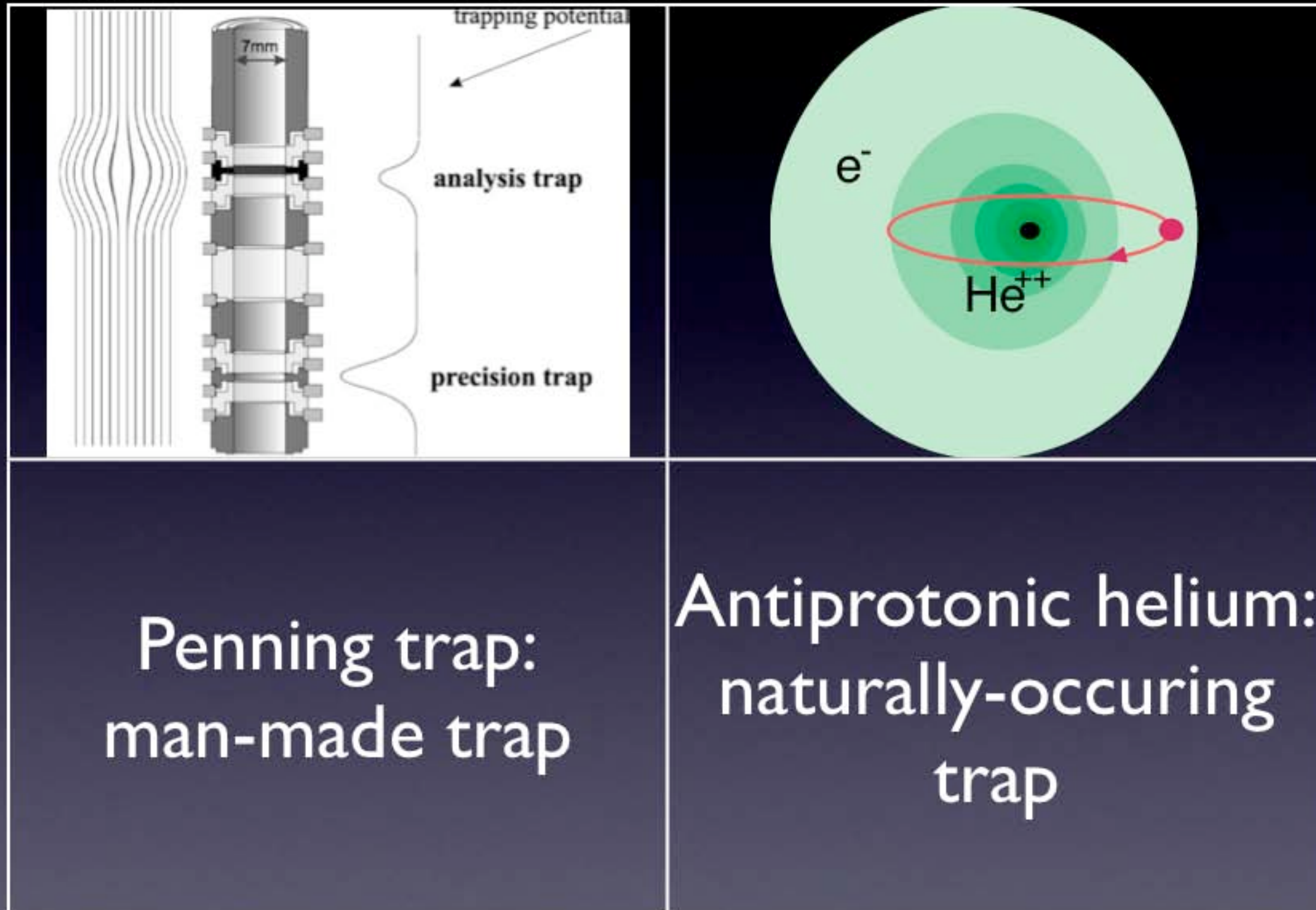
Antiprotonic Helium



+relativistic correction

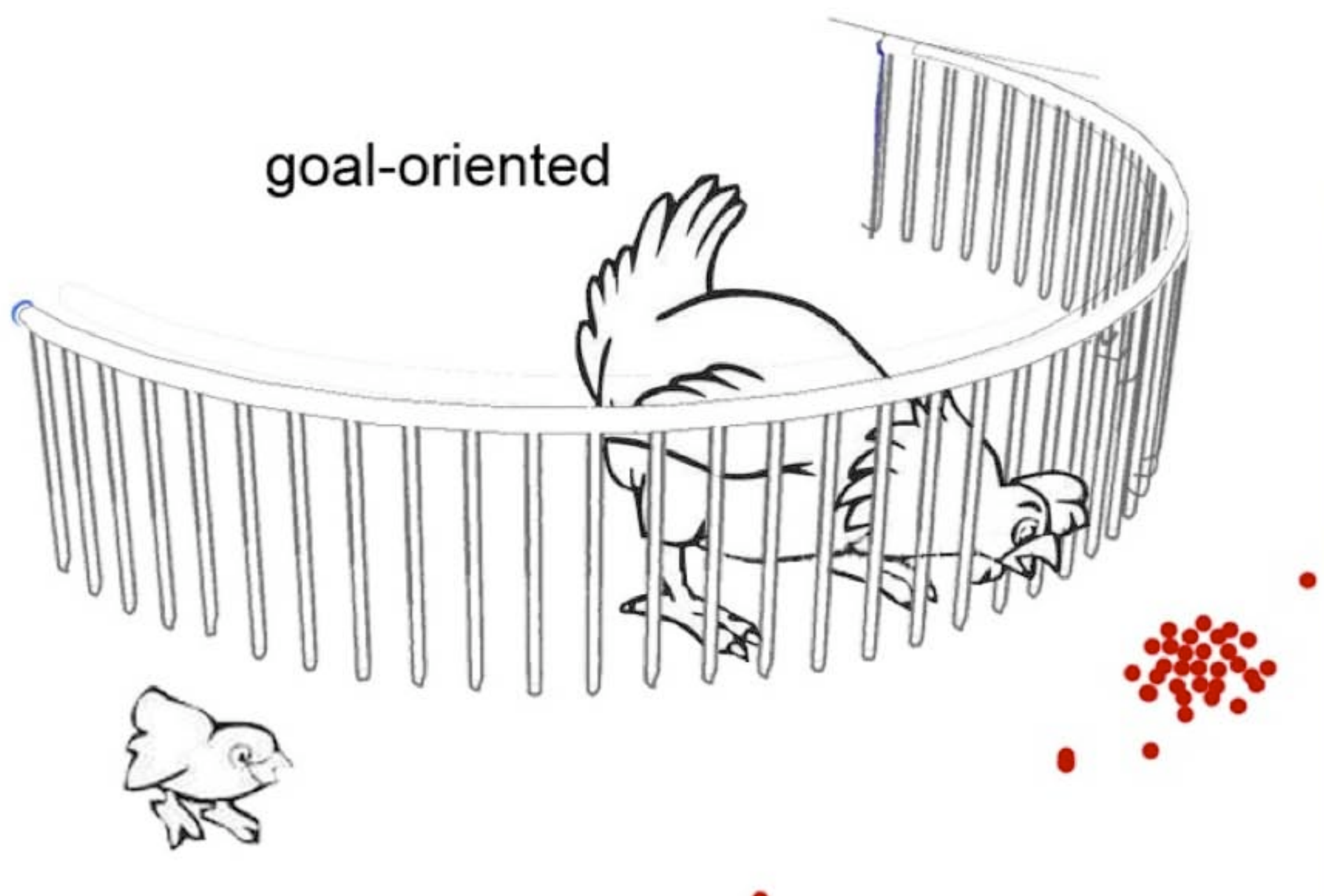
+QED correction

+ hyperfine



しかし我々は最初から
 m_p/m_e 測定を目指したのではない

goal-oriented



curiosity-driven

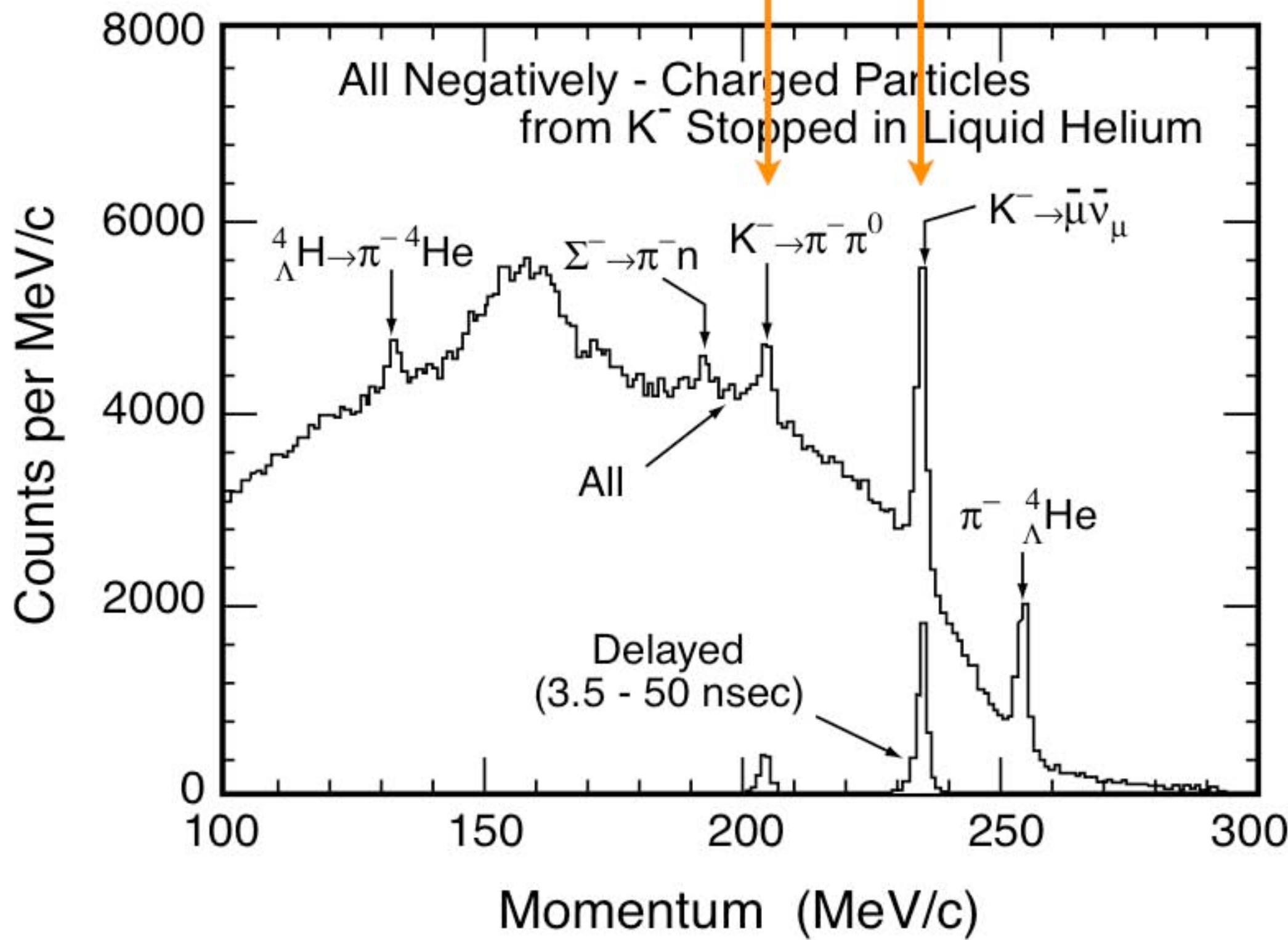
歴史

Historical

ハイパー核研究 液体ヘリウムに止めたK-



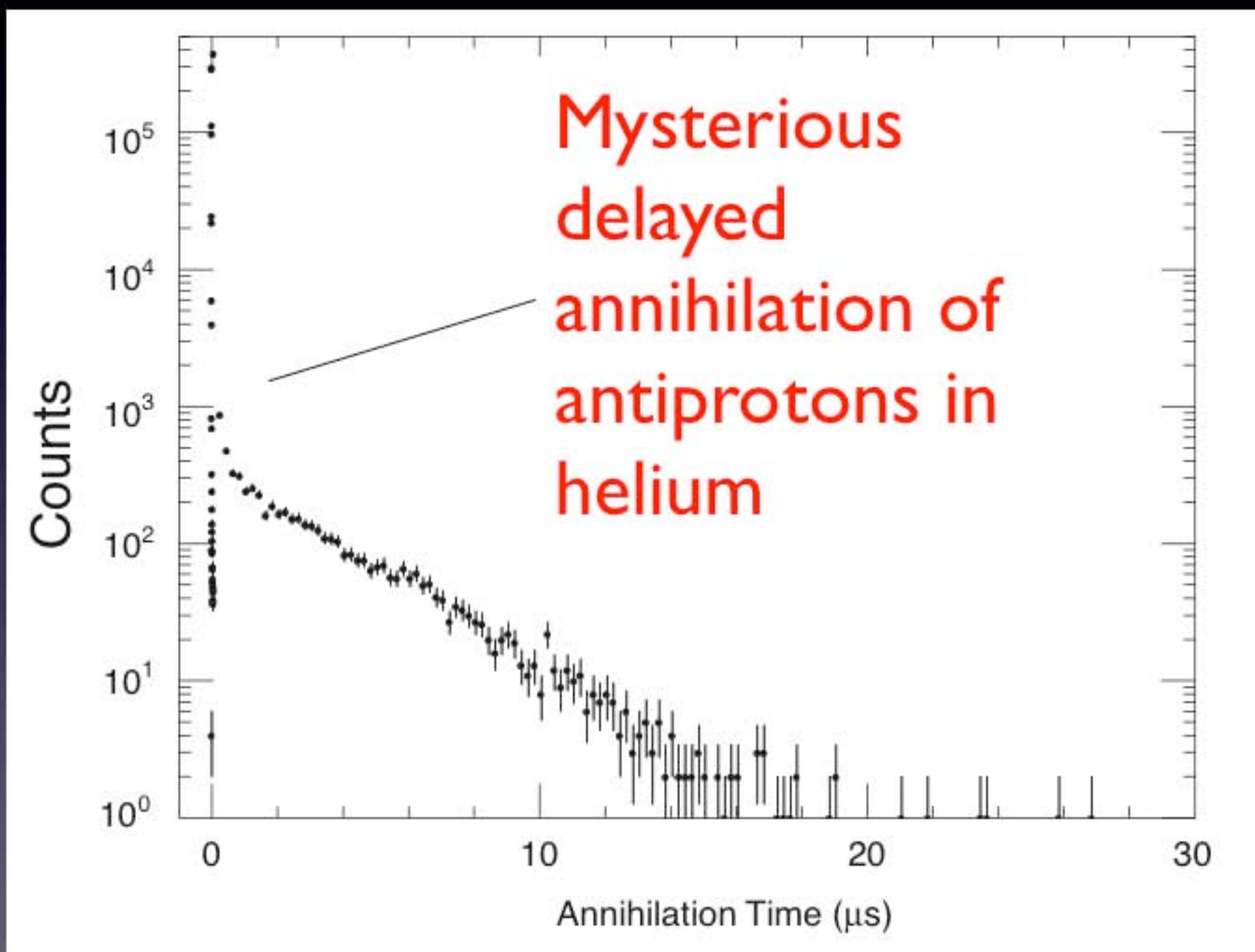
Kaon weak decay peaks



how can K⁻ weak decay (lifetime 12ns) be visible when cascade & nuclear capture can be as fast as <1ns?

これは異常だ
反陽子でも異常が見えるか？

Serendipitous discovery of naturally-occurring \bar{p} trap

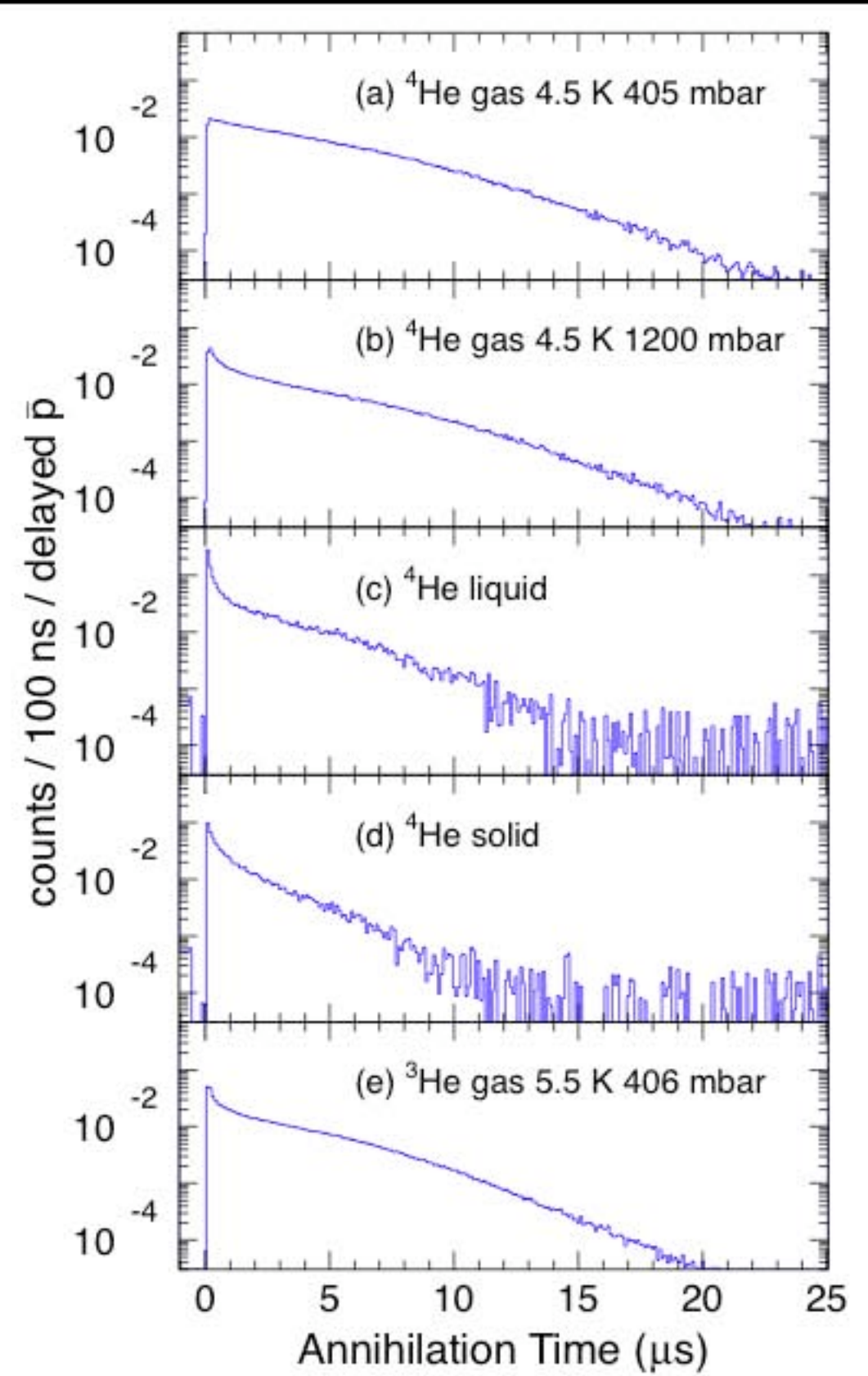


Not just in liquid

Measurements
continued at CERN
LEAR

Established
antiproton longevity
in gas, liquid, solid
helium-3 & helium-4

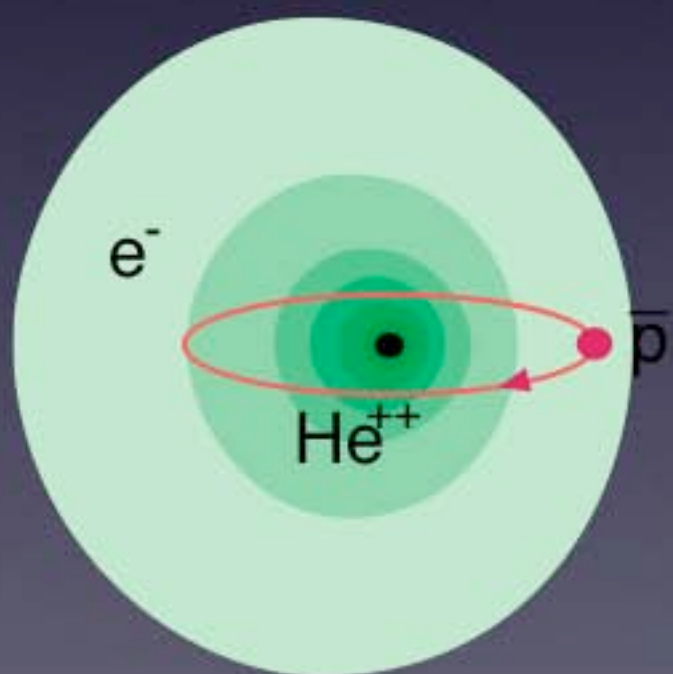
T. Yamazaki et al, 特別推進研究
@LEAR 1992-1996



antiprotonic helium

a naturally-occurring
antiproton trap

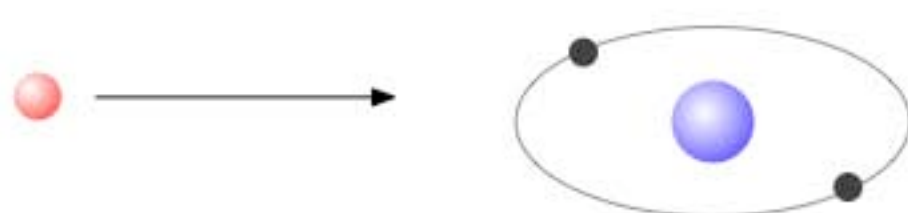
electron is in $\sim 1s$
(slightly polarized to
the opposite side of \bar{p})

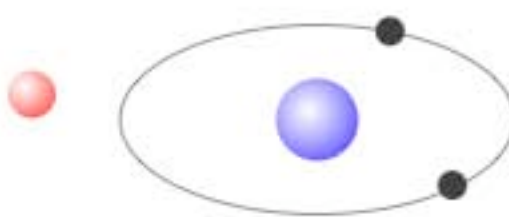


antiproton is in a
highly excited
($n \sim 40$) orbit

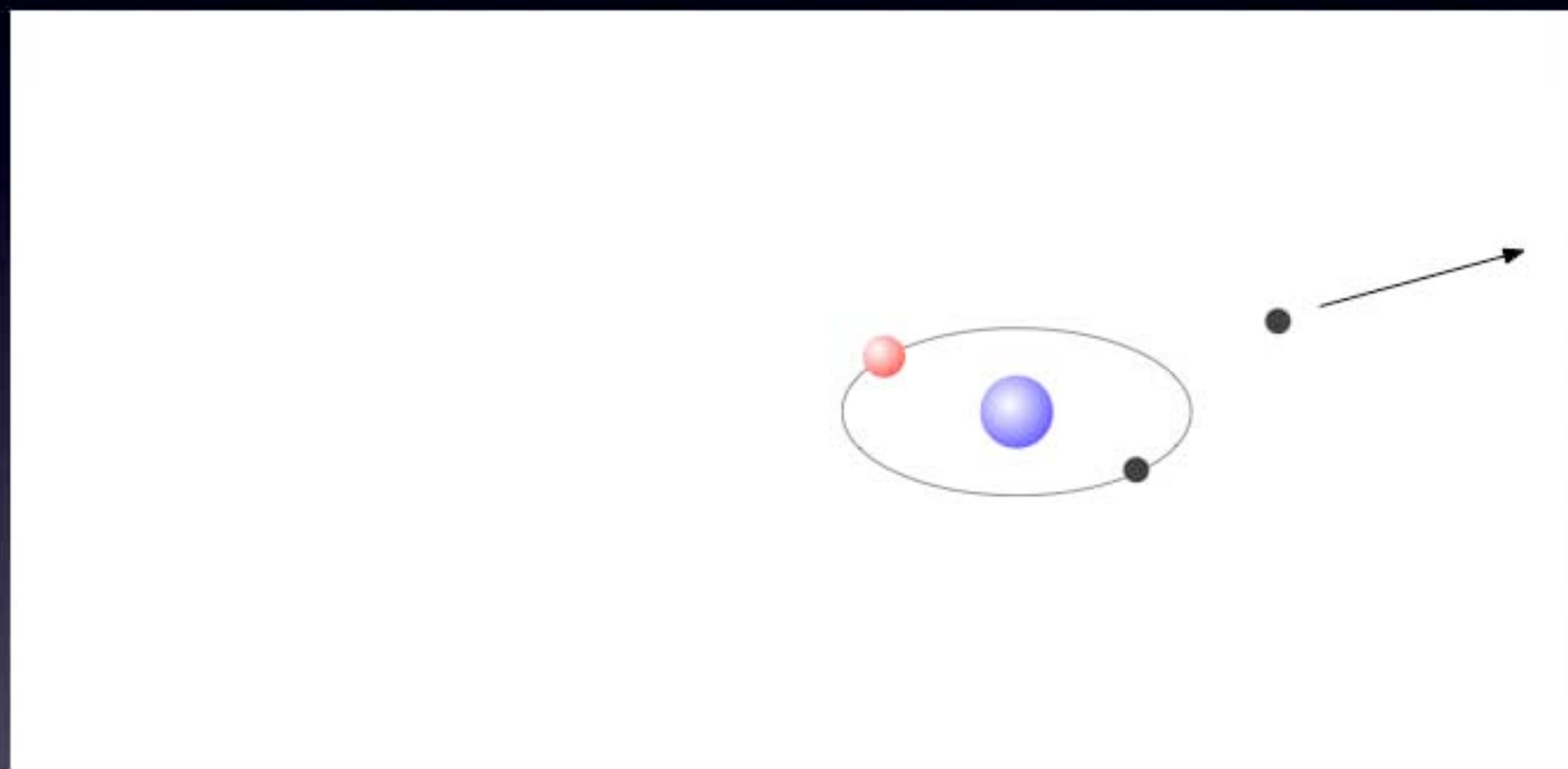
Easy production
Large yield
Long lifetime

Stop antiprotons in a low-temperature, dilute helium gas





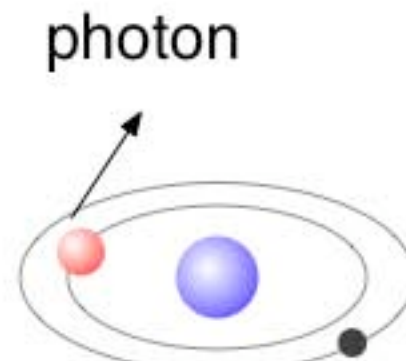
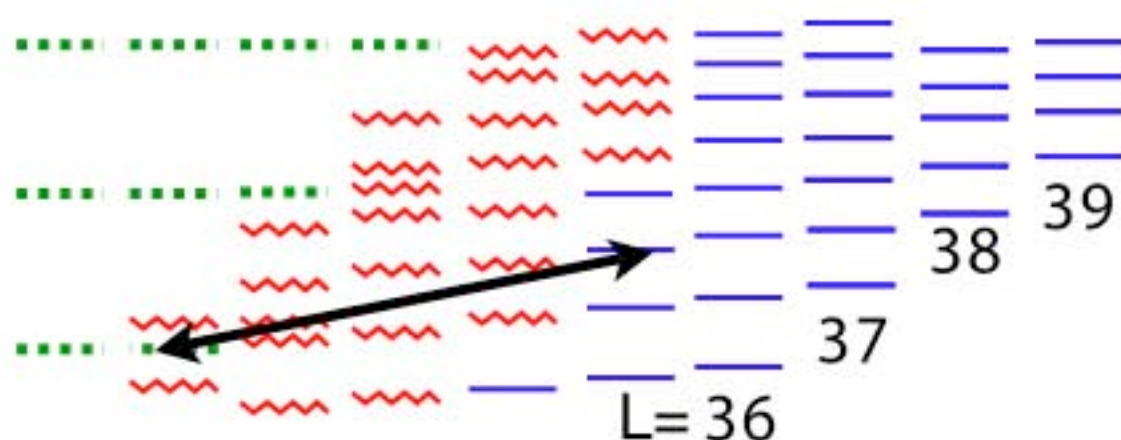
One of the two electrons of He, replaced by \bar{p}



3% of stopped antiprotons form $\bar{p}\text{He}$, lifetime > 3 μs

Mechanism of longevity

Ion

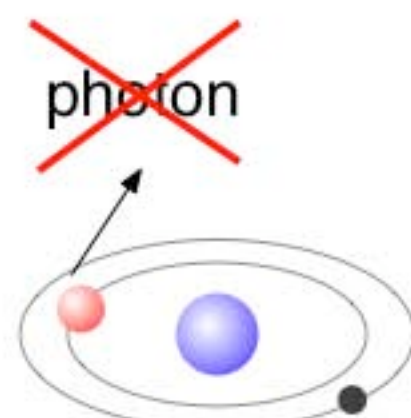
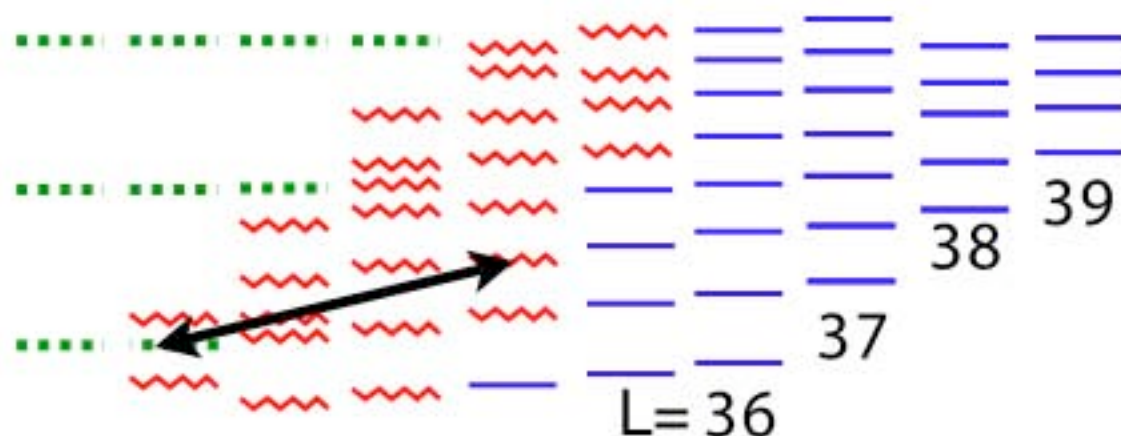


$$\Delta L = 4, \Gamma_{\text{auger}} < \Gamma_{\text{radiative}}$$

If Auger is hindered (high multipolarity ΔL)
slow radiative deexcitation ($\sim \mu\text{s} / \text{step}$)

Mechanism of longevity

Ion



$\Delta L=3$, $\Gamma_{\text{auger}} > \Gamma_{\text{radiative}}$

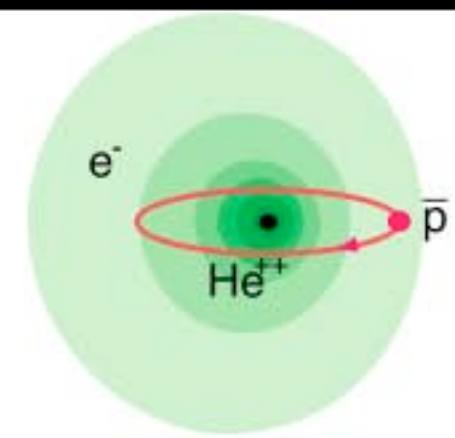
If Auger is fast, the system is short lived

分光原理

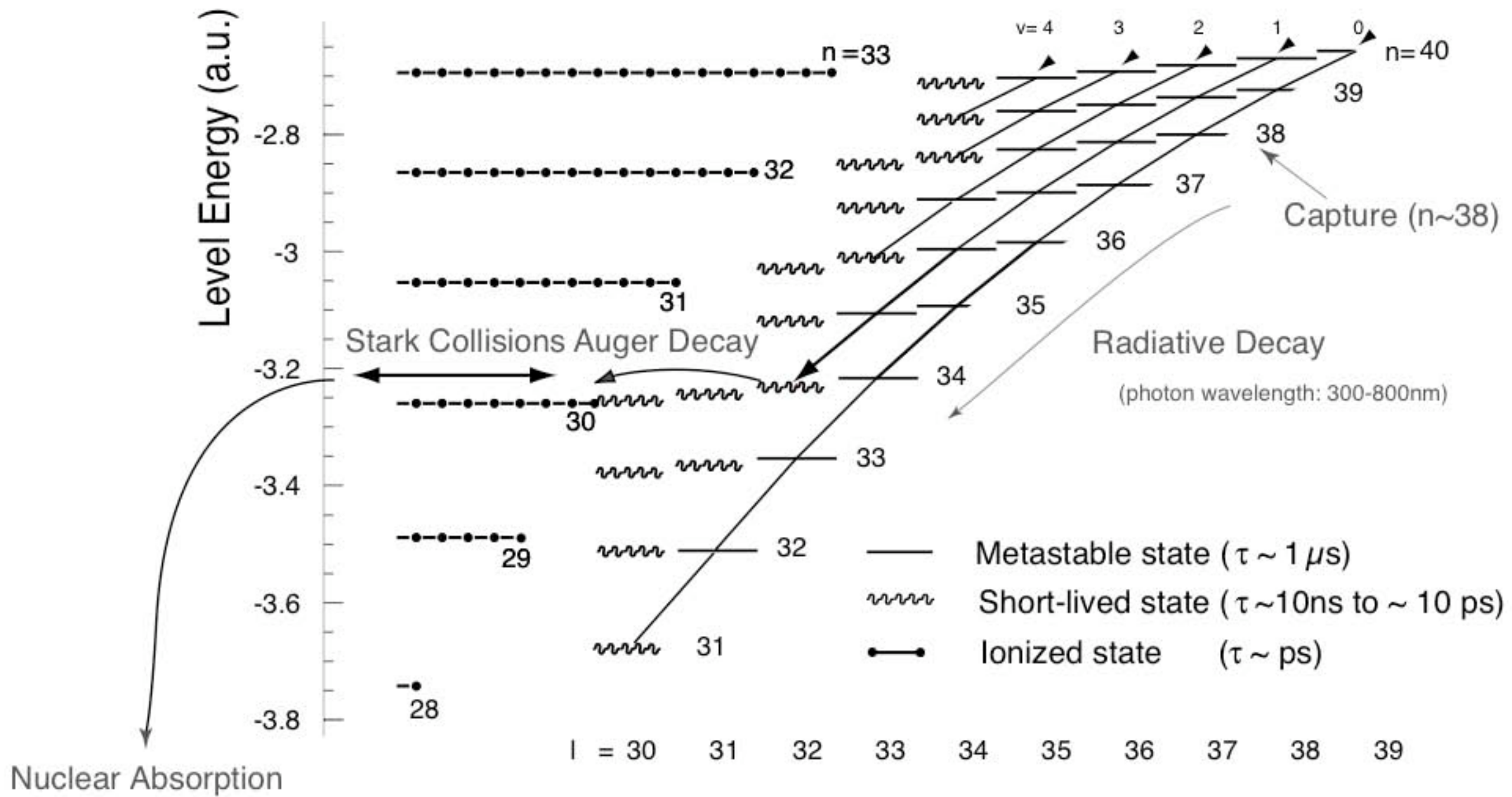
laser-induced
annihilation



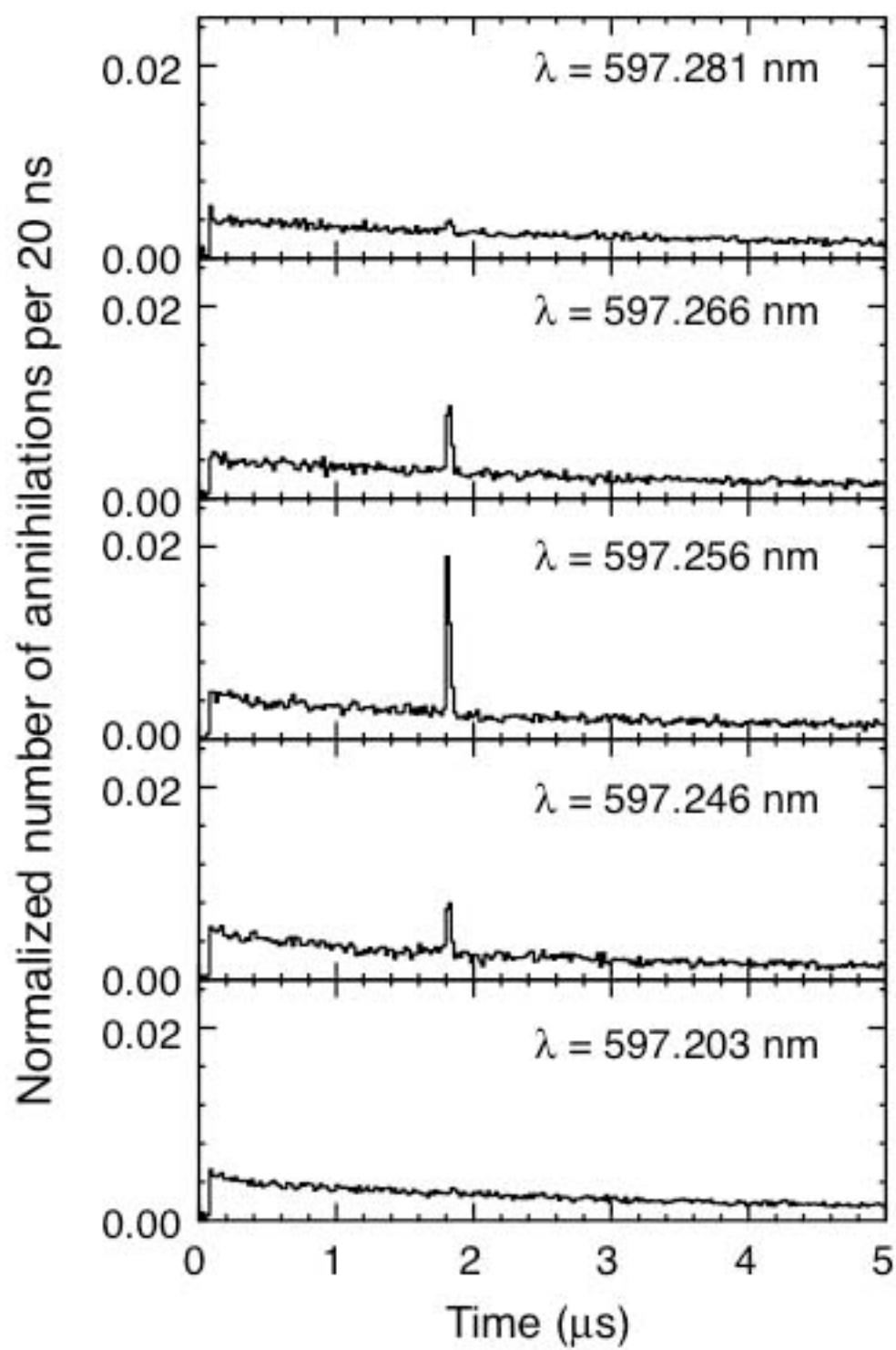
$\bar{p}^4\text{He}^{++}$ ion

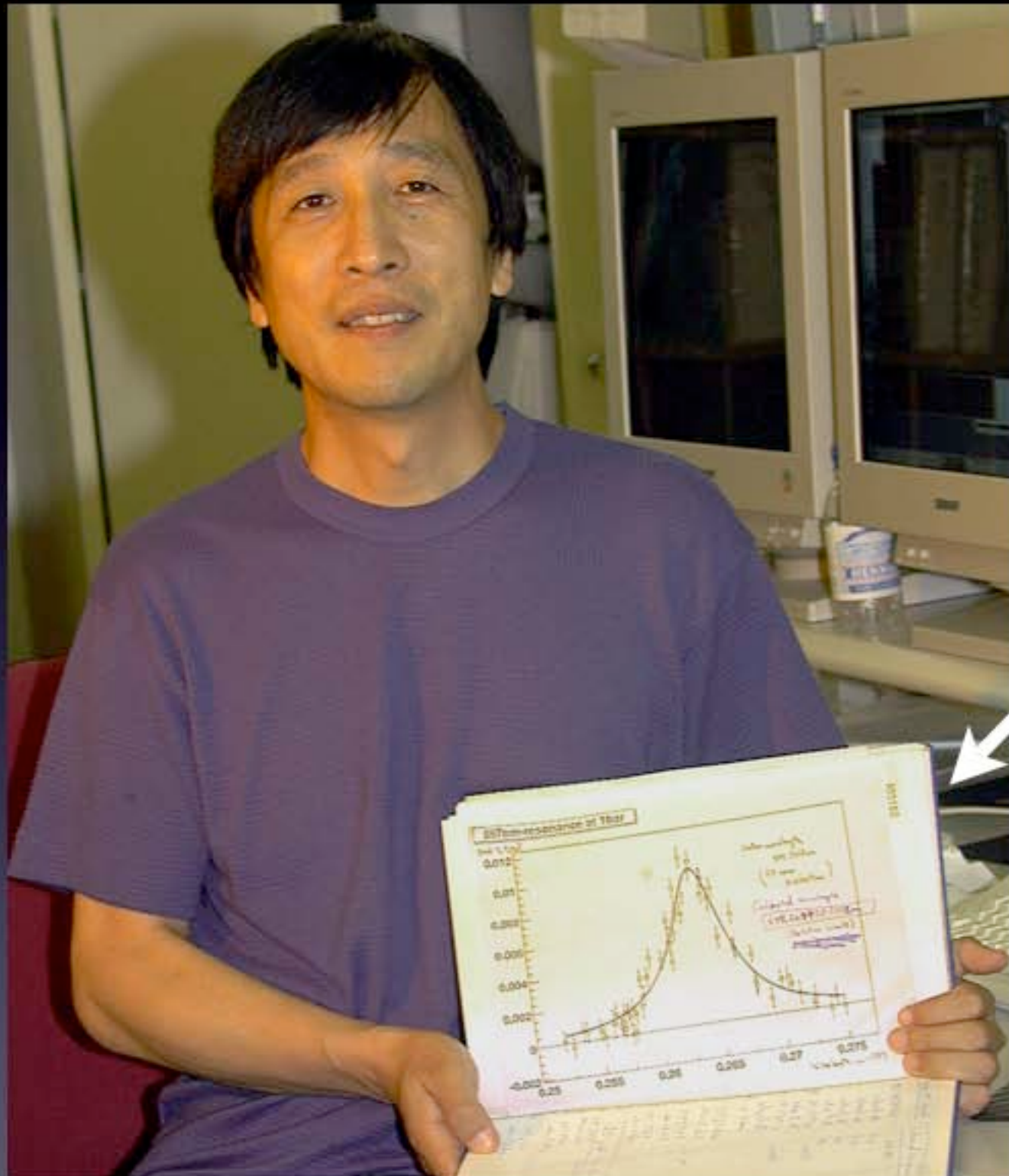


$\bar{p}^4\text{He}^+$ atom



An example, $(n,l)=(39,35) \rightarrow (38,34)$





レーザー共鳴を示す
グラフ
(共鳴強度 vs 周波数)

Photo CERN

remember:

volume > cm³

auger lifetime < 10 ns



laser power density ~ MW/cm²

パルスレーザー必須

also remember:

typical transition 10^{15} Hz



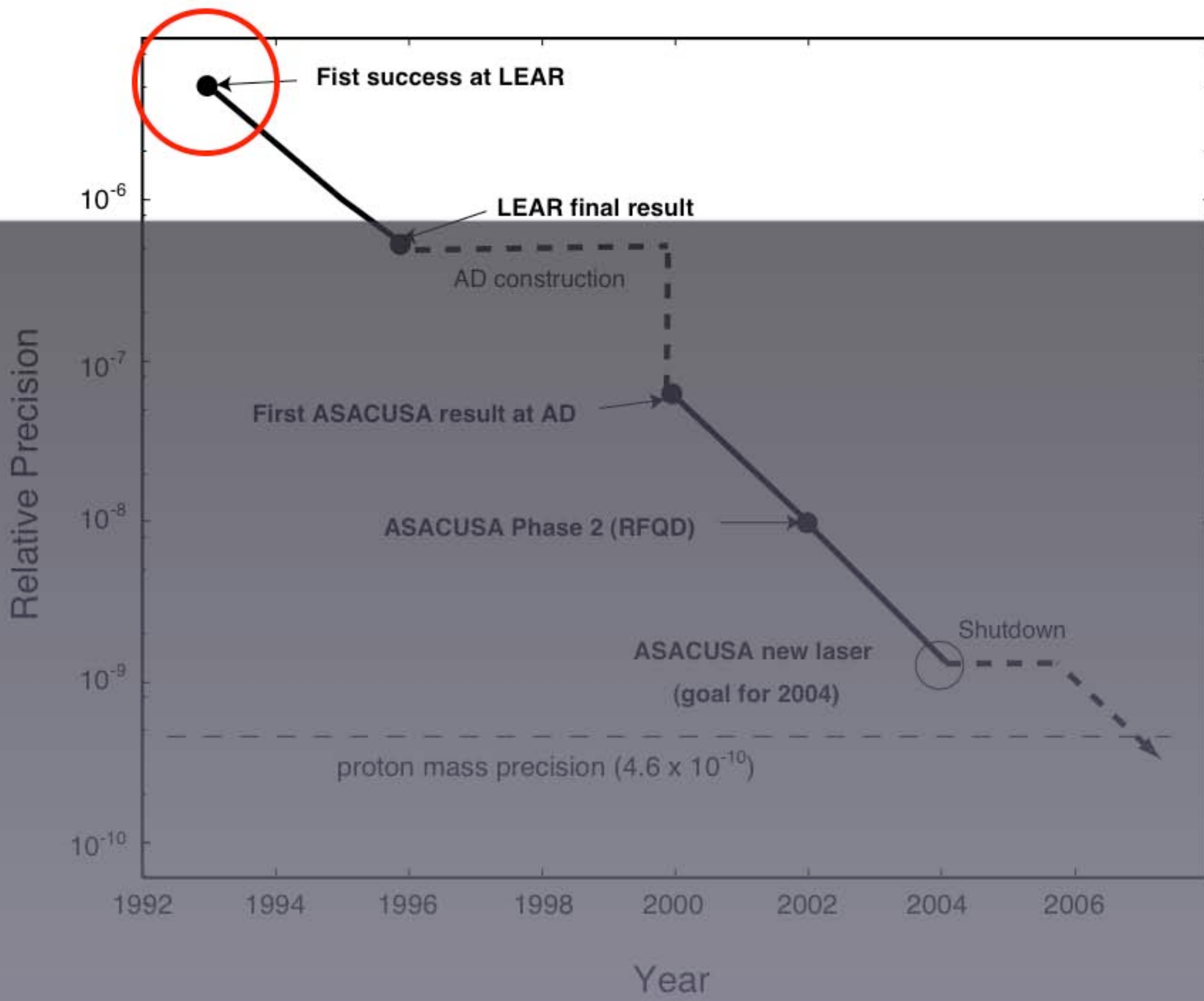
measurement precision of 1 MHz

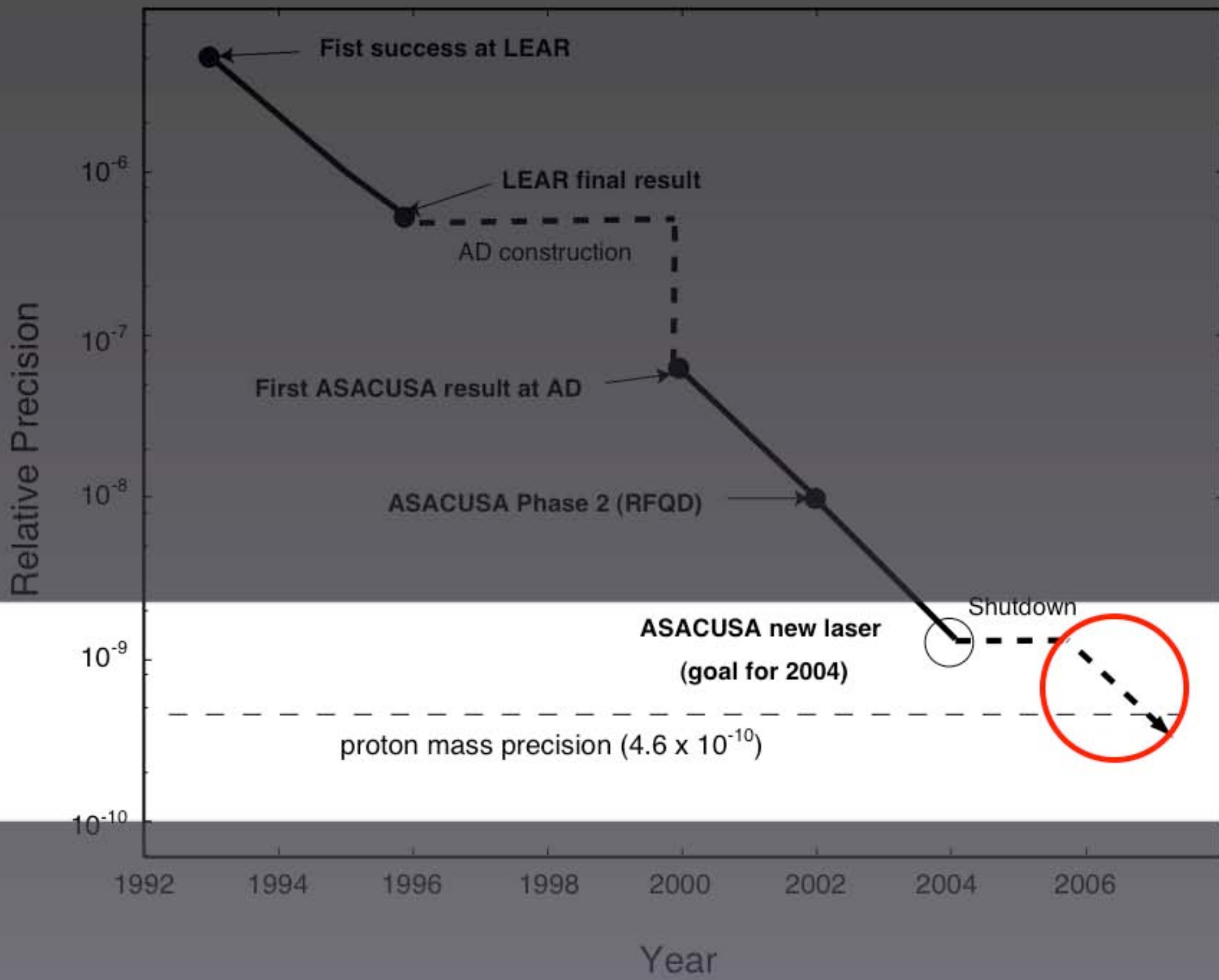


relative uncertainty 10^{-9} (ppb)

精度

reducing uncertainty





uncertaintyはどうやれば減るか

統計

線幅

ideally

$$\sigma = \frac{\text{line width}}{\sqrt{N}}$$

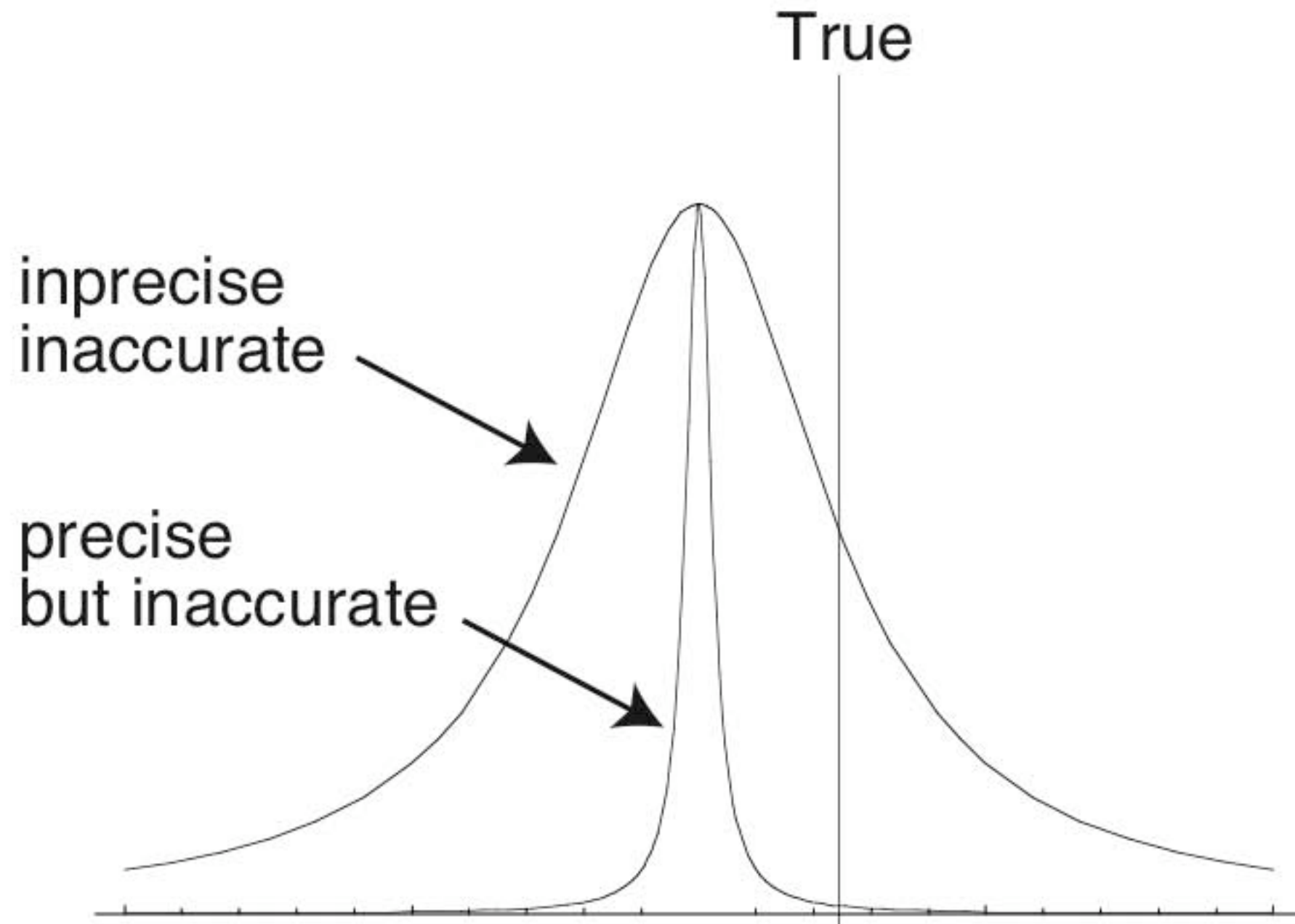
systematics

systematics

systematics

systematics

...



幅の要因		シフトの要因	
自然幅	15MHz - 150kHz	衝突	RFQD
Fourier幅	パルスレーザー パルス長	チャーブ	~2MHz, パルスレーザー不可避
衝突	RFQD	周波数較正	光周波数comb
ドップラー幅	2光子分光	AC Stark shift	\propto Power
レーザー単色性	パルスレーザー →CWレーザー	(理論)	~MHz?

反陽子減速器

CERN AD

(Antiproton Decelerator)

and ASACUSA RFQD

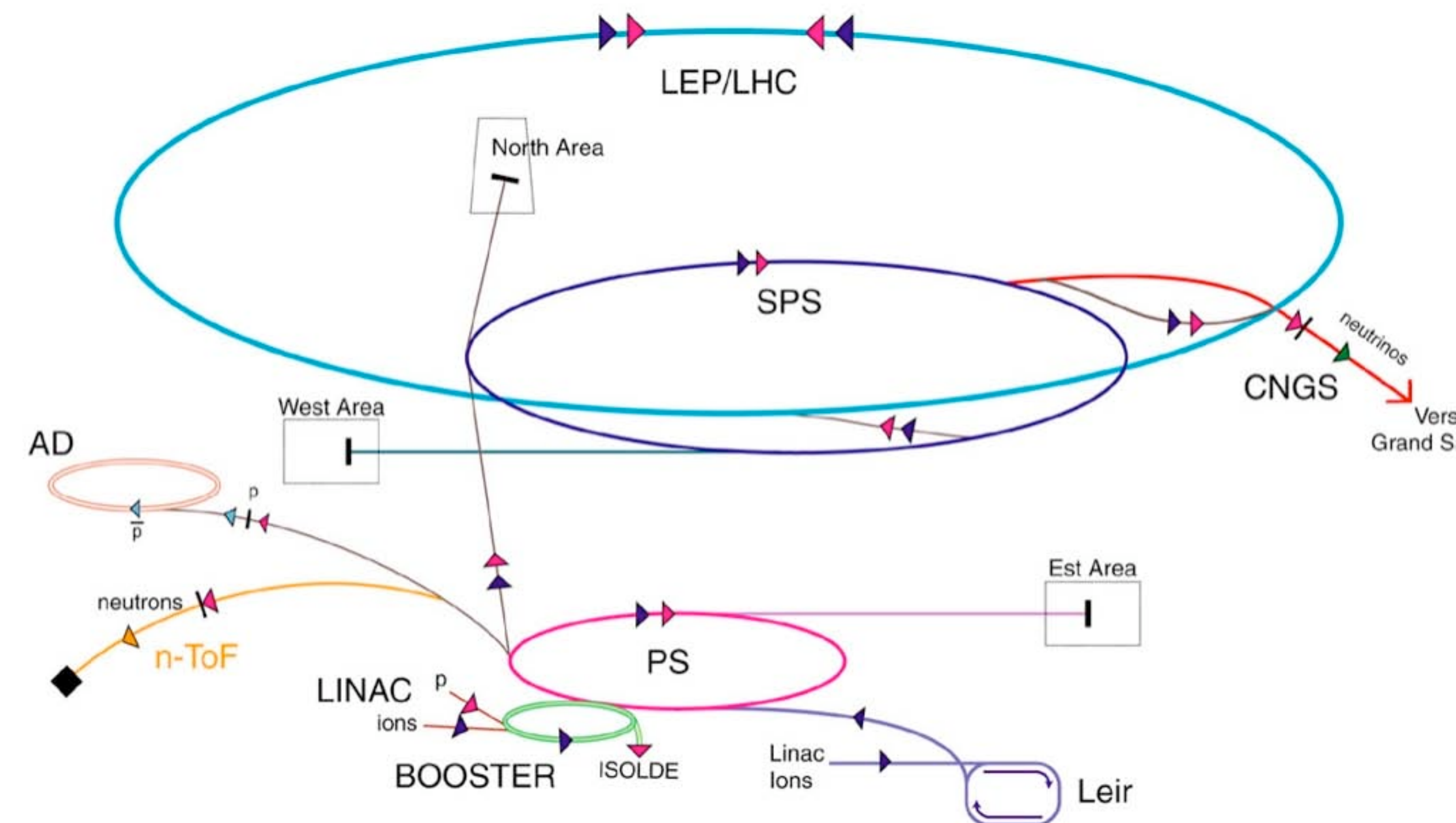
(radio-frequency quadrupole decelerator)

ASACUSA



atomic spectroscopy
and
collisions using
slow antiprotons

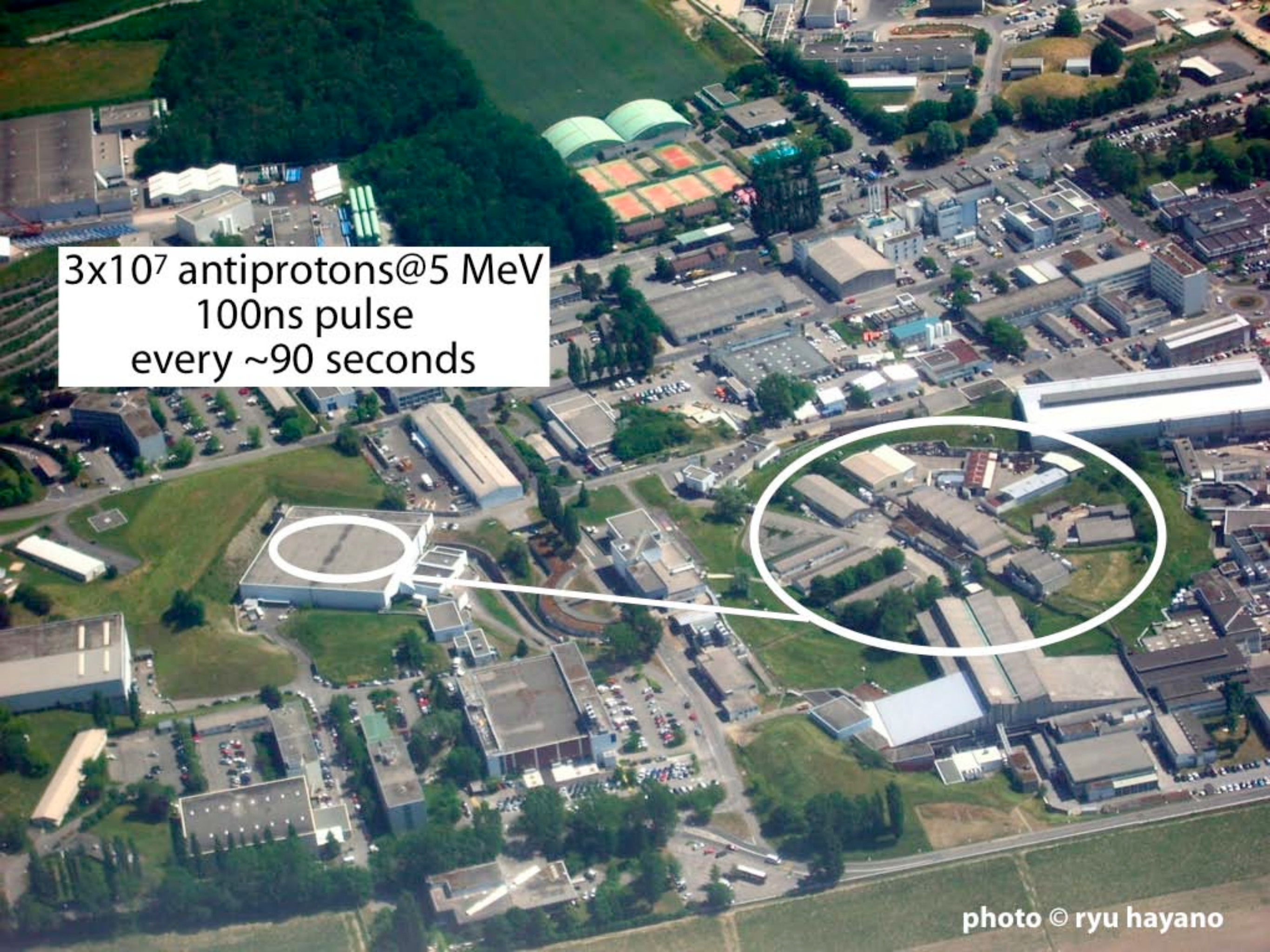
Accelerator chain of CERN (operating or approved projects)



► p (proton)
► ion
► neutrons
► \bar{p} (antiproton)
► \leftrightarrow proton/antiproton conversion
► neutrinos

AD Antiproton Decelerator
PS Proton Synchrotron
SPS Super Proton Synchrotron

LHC Large Hadron Collider
n-ToF Neutrons Time of Flight
CNGS Cern Neutrinos Grand Sasso



3×10^7 antiprotons@5 MeV
100ns pulse
every ~90 seconds

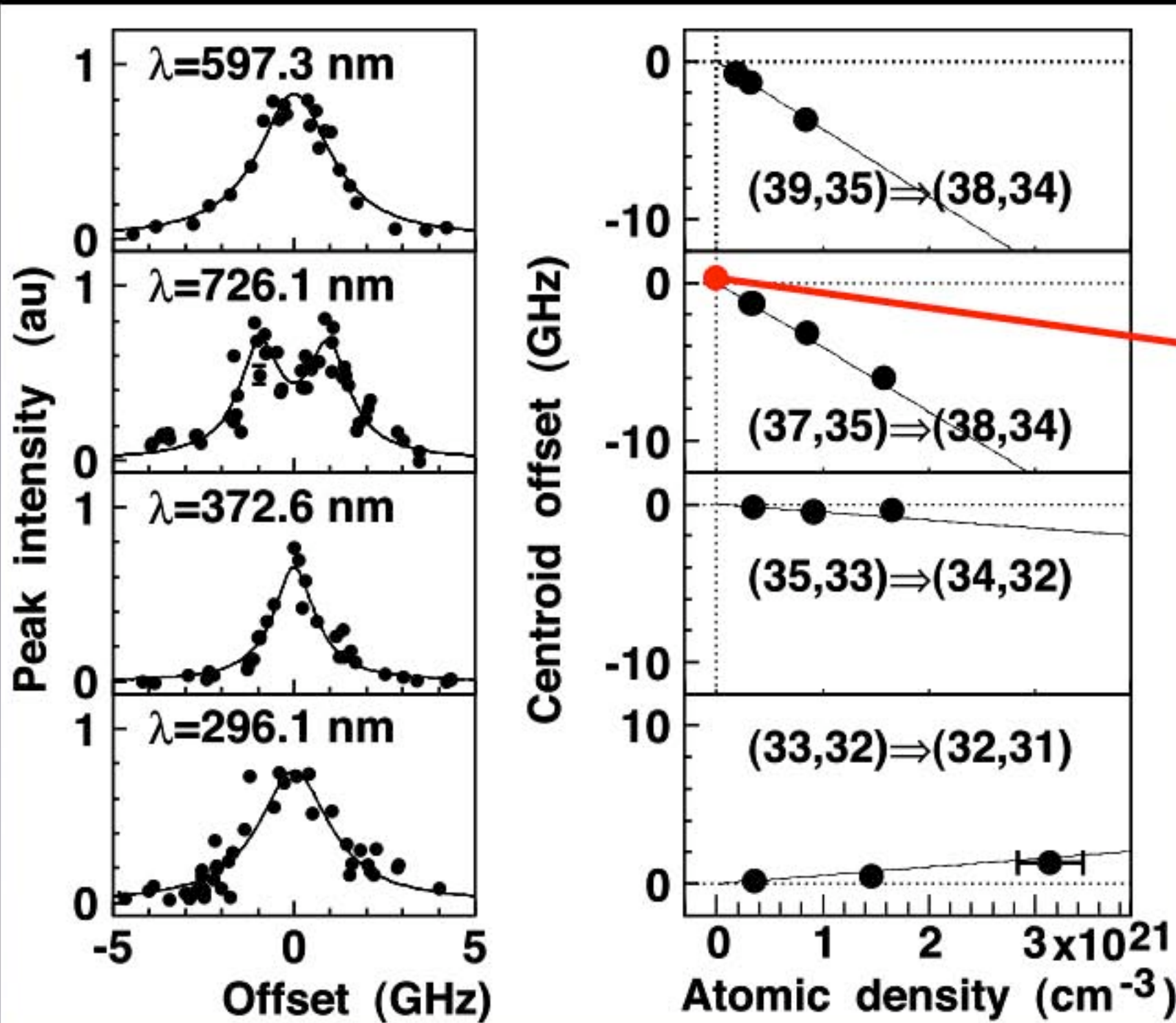
photo © ryu hayano

初

the first result @ AD

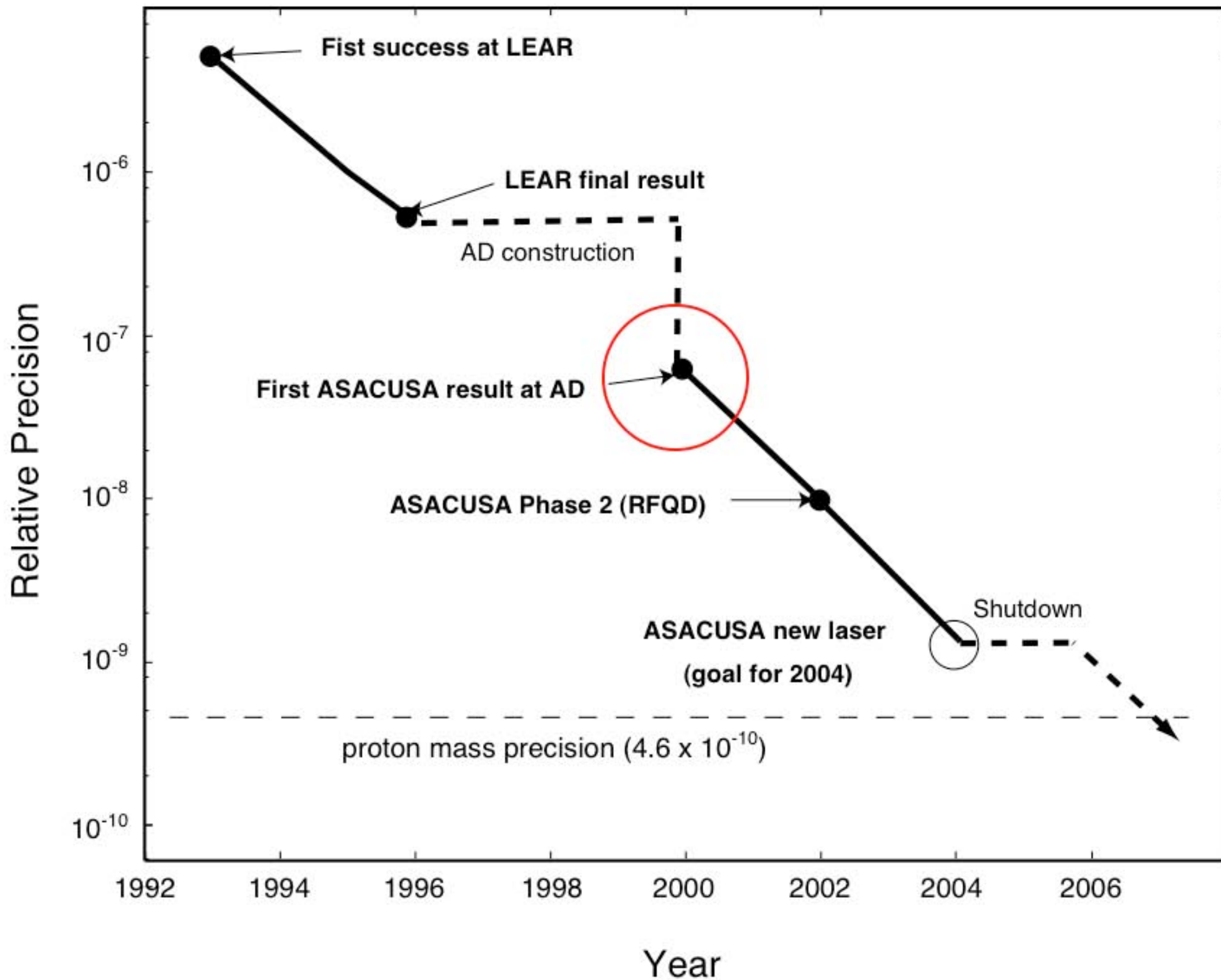
M. Hori et al., Phys. Rev. Lett. 87, 093401(2001).

Collisional frequency shift correction



Antiprotons stopped
in a dense (~1 bar,
~5K) helium gas
target

zero-density
extrapolation
needed



衝突

reducing collision

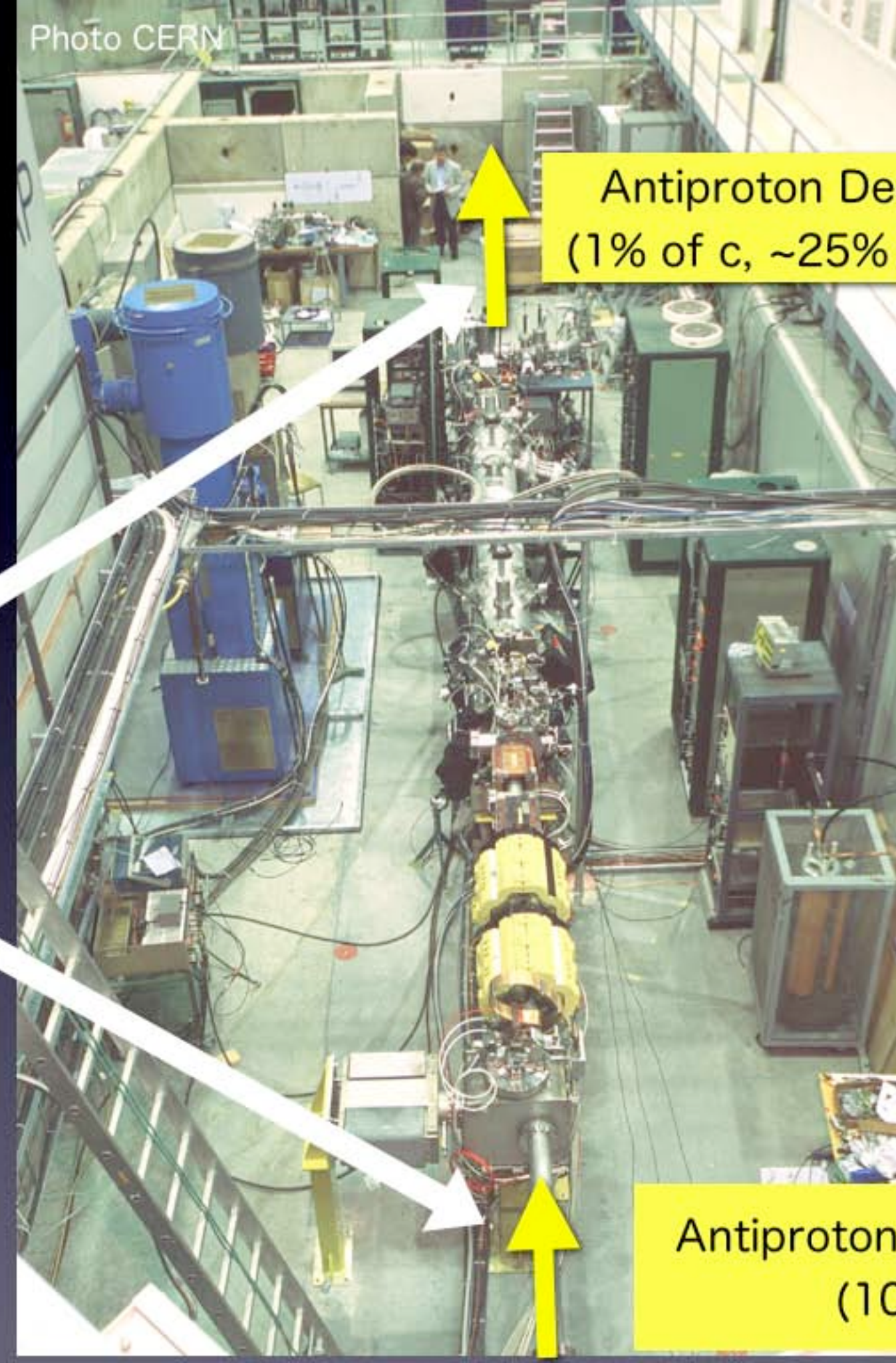
M. Hori et al., Phys. Rev. Lett. 91, 123401(2003).

幅の要因		シフトの要因	
自然幅	15MHz - 150kHz	衝突	RFQD
Fourier幅	パルスレーザー パルス長	チャーブ	~2MHz, パルスレーザー不可避
衝突	RFQD	周波数較正	光周波数comb
ドップラー幅	2光子分光	AC Stark	\propto Power
レーザー単色性	パルスレーザー \rightarrow CWレーザー	(理論)	~MHz?

Photo CERN

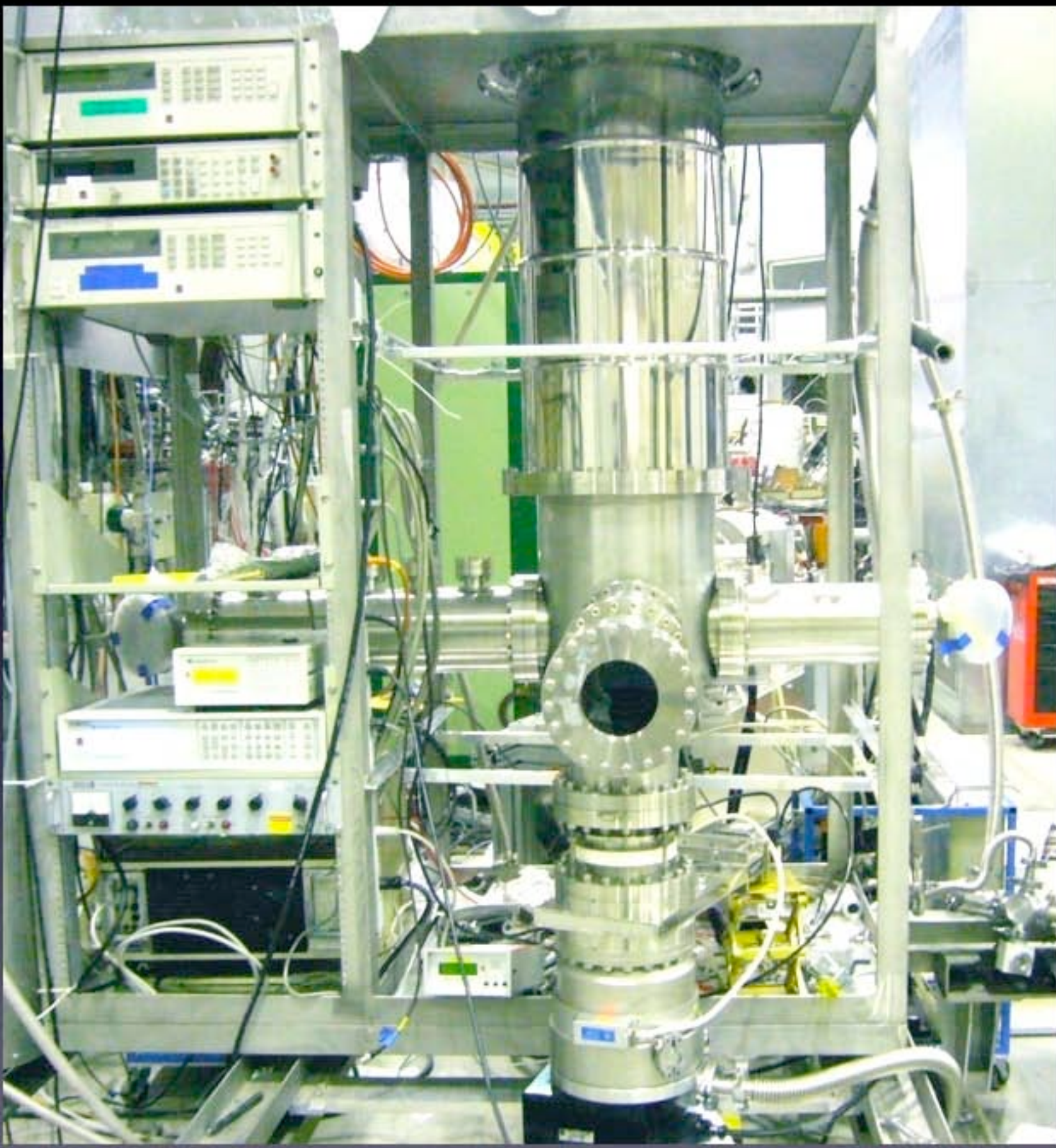
small (a few MHz)
collisional shift and width
(which we correct)

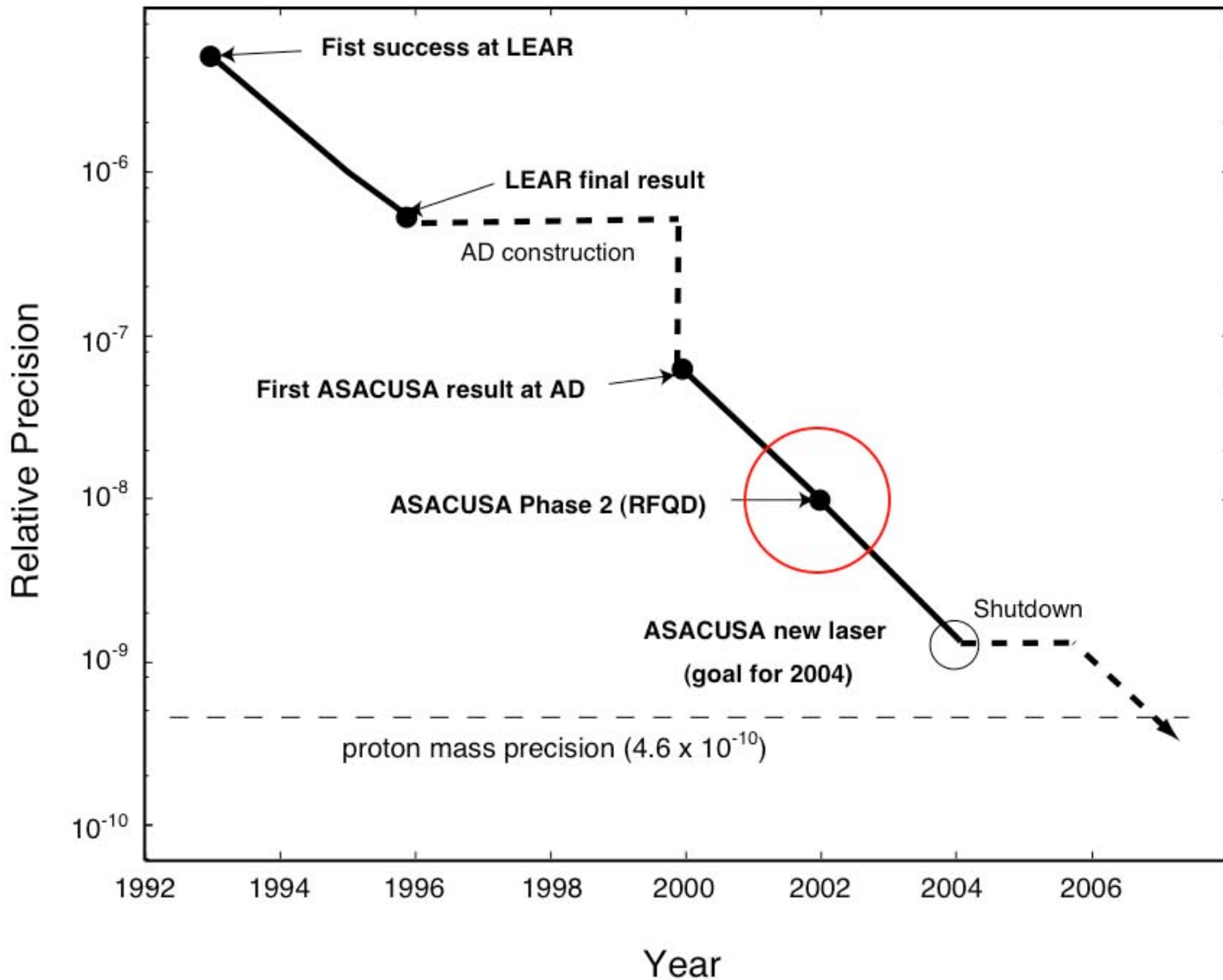
Typical target density
10^{16} - 10^{18} cm^{-3}
10^{21} cm^{-3}



Antiproton Decelerator
(1% of c, ~25% efficiency)

Antiproton pulse from AD
(10% of c)





单色

better laser

M. Hori et al., Phys. Rev. Lett. 96, 243401(2006)

幅の要因		シフトの要因	
自然幅	15MHz - 150kHz	衝突	RFQD
Fourier幅	パルスレーザー パルス長	チャーブ	~2MHz, パルスレーザー不可避
衝突	RFQD	周波数較正	光周波数comb
ドップラー幅	2光子分光	AC Stark	\propto Power
レーザー単色性	パルスレーザー \rightarrow CWレーザー	(理論)	~MHz?

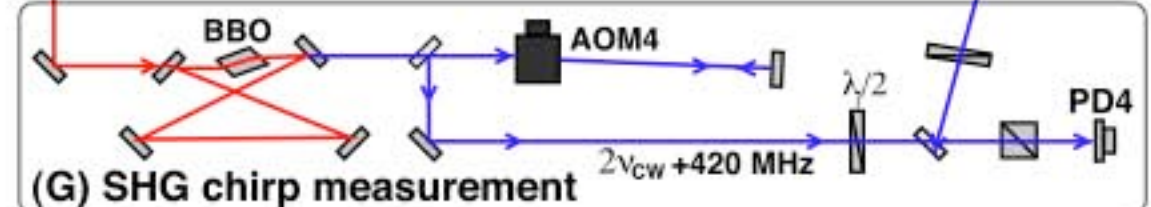
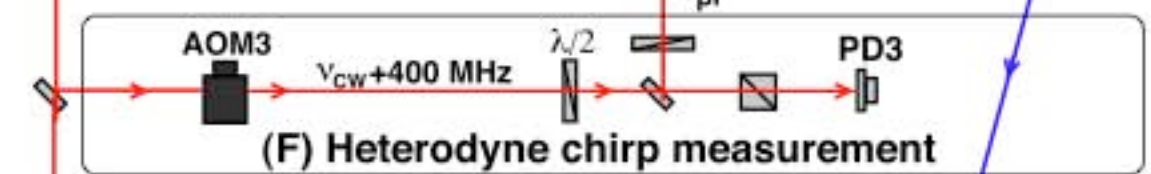
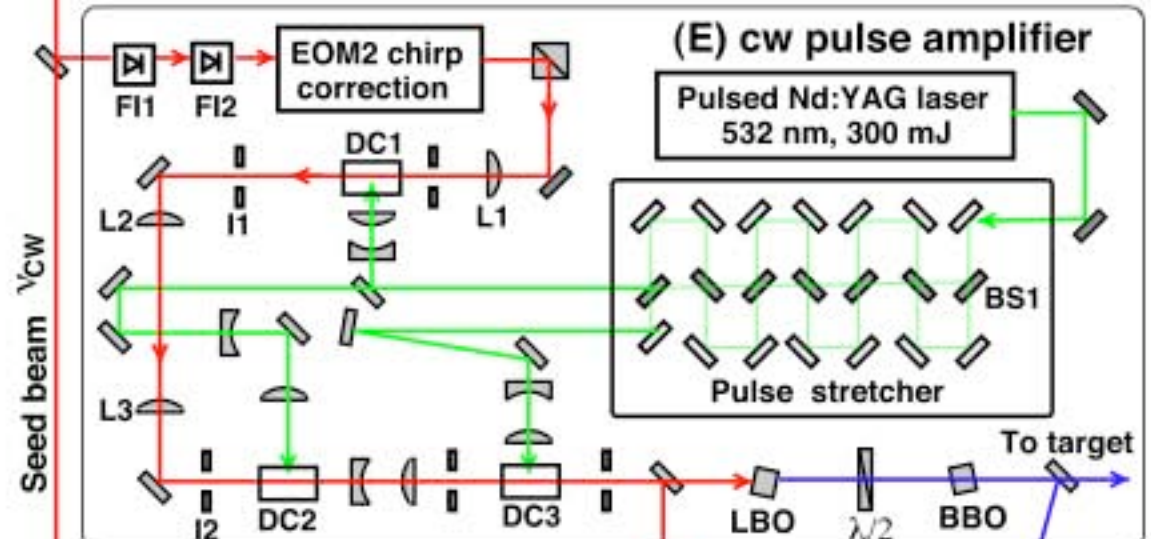
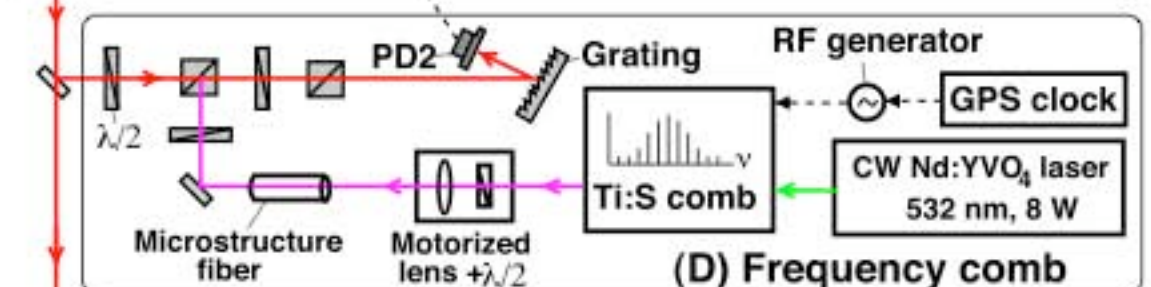
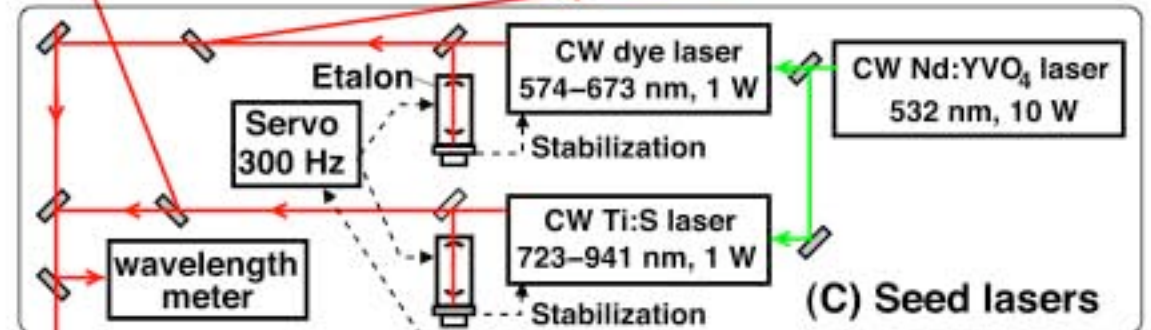
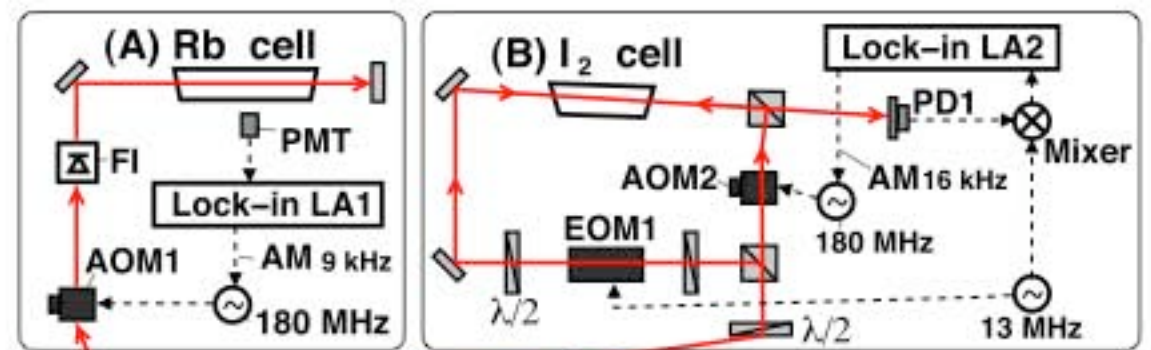
Known lines

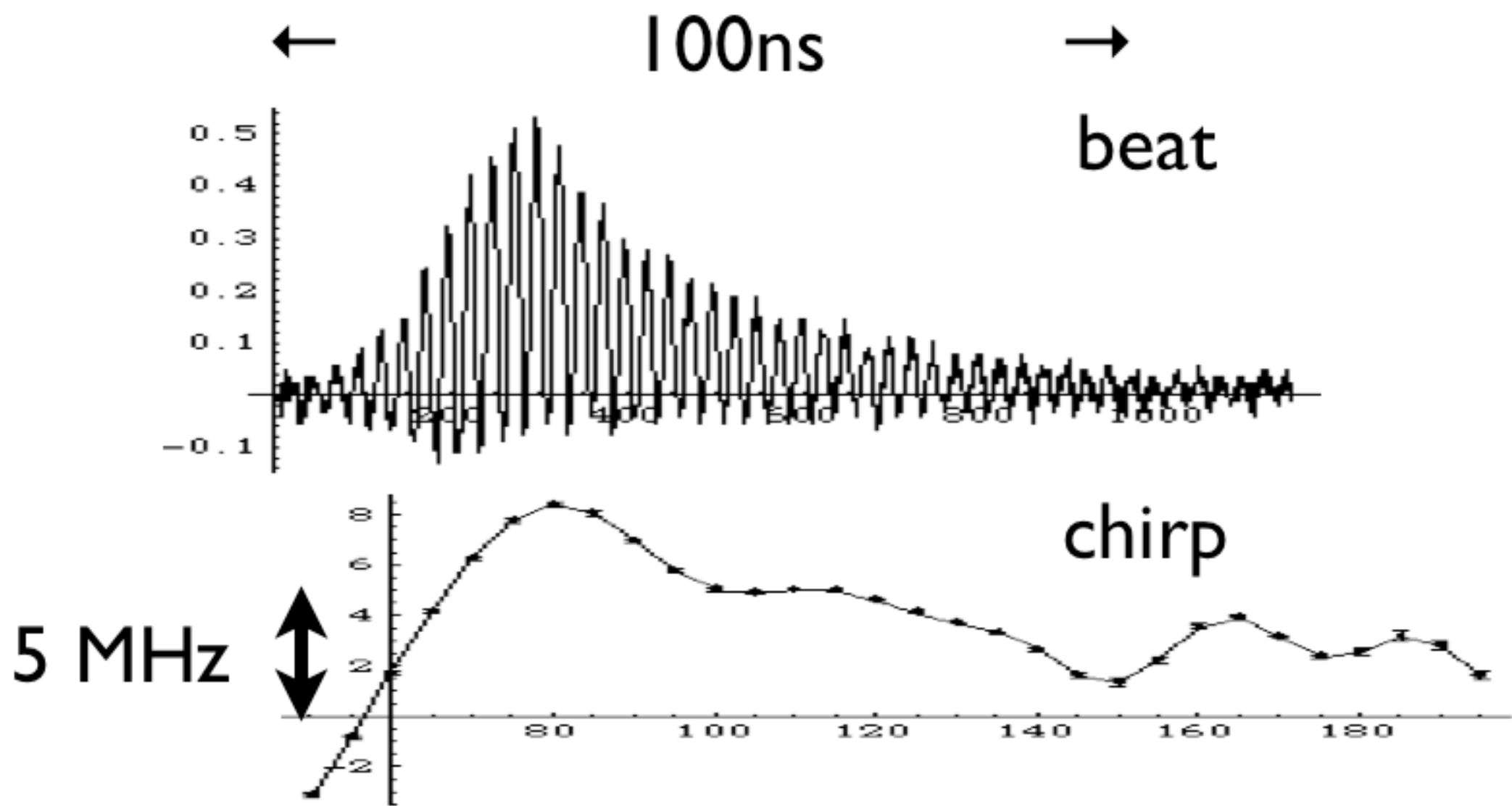
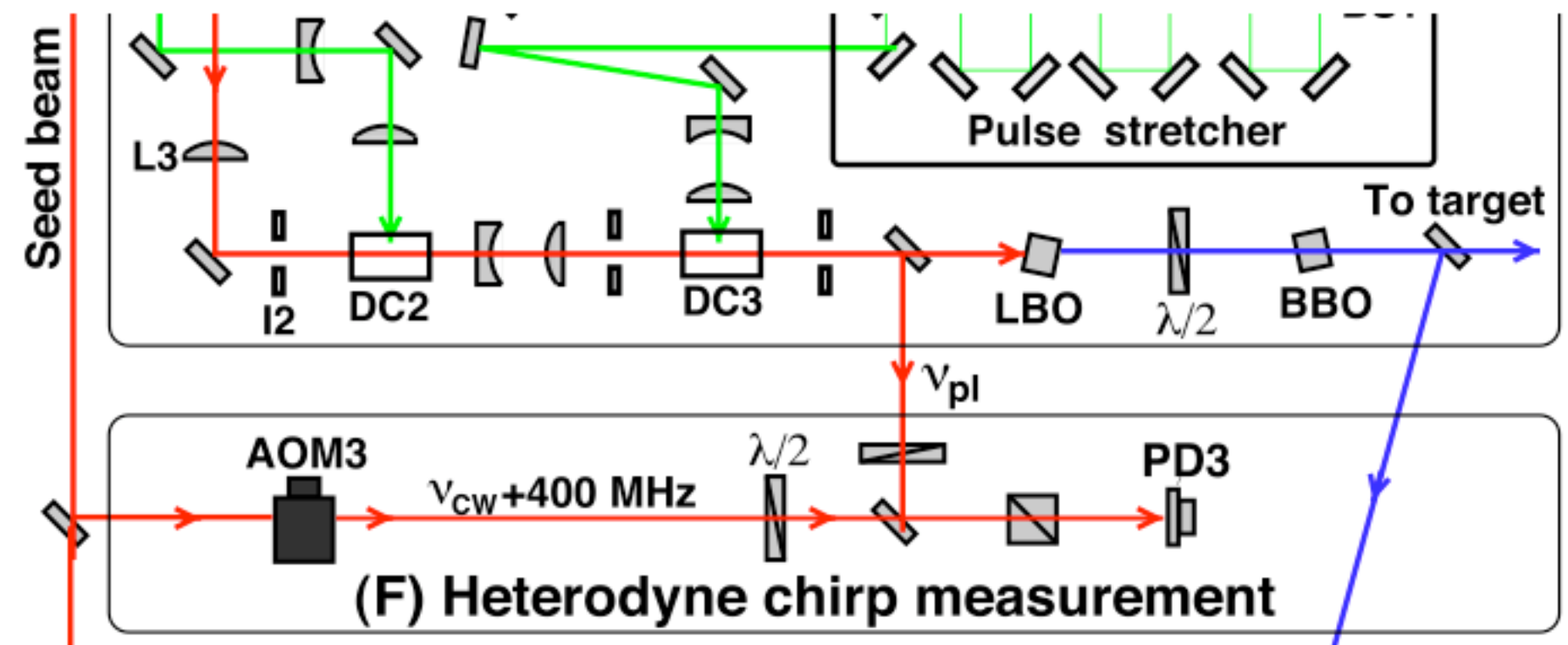
CW

Comb

Amplifier
stretcher

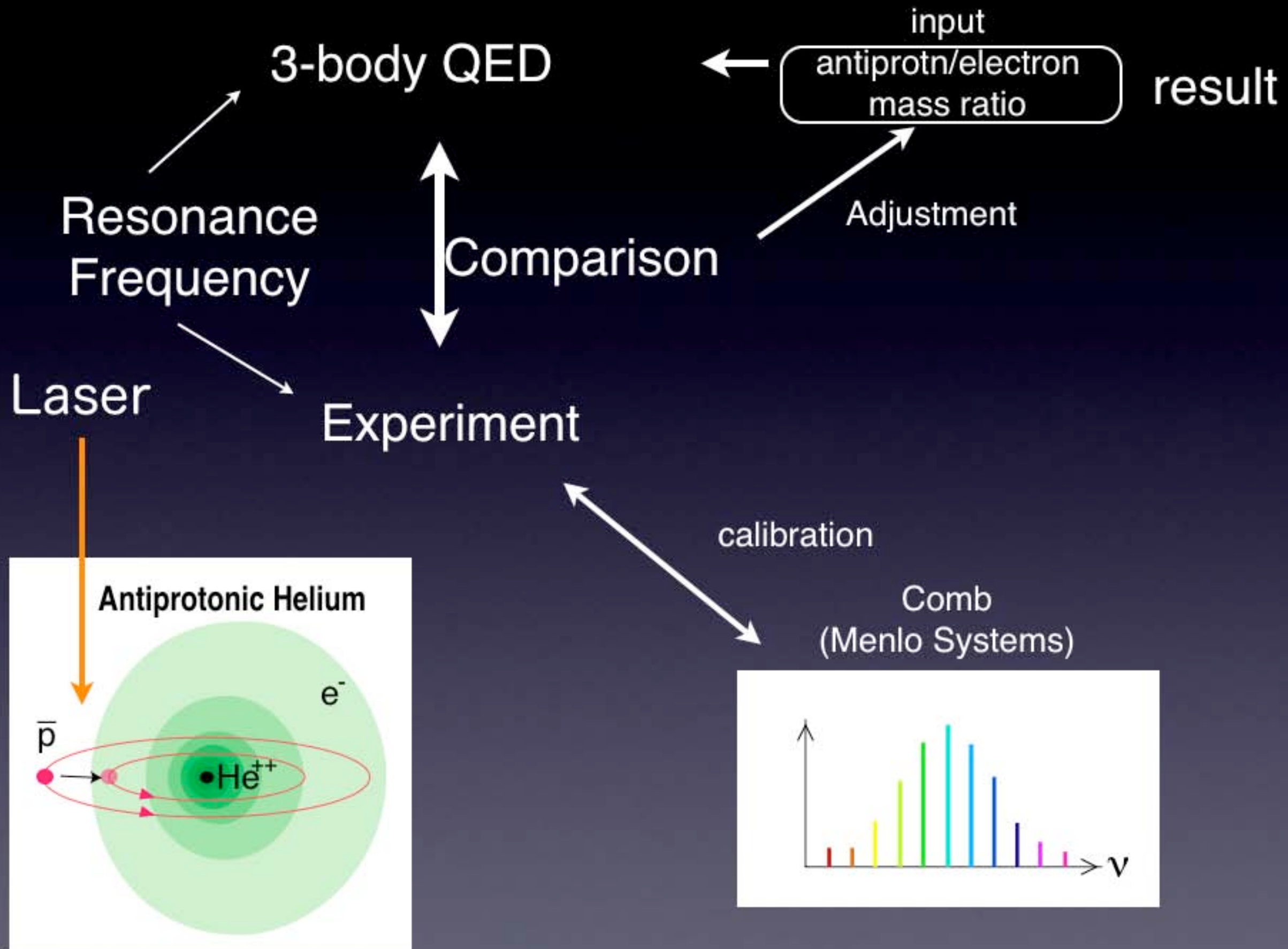
Chirp



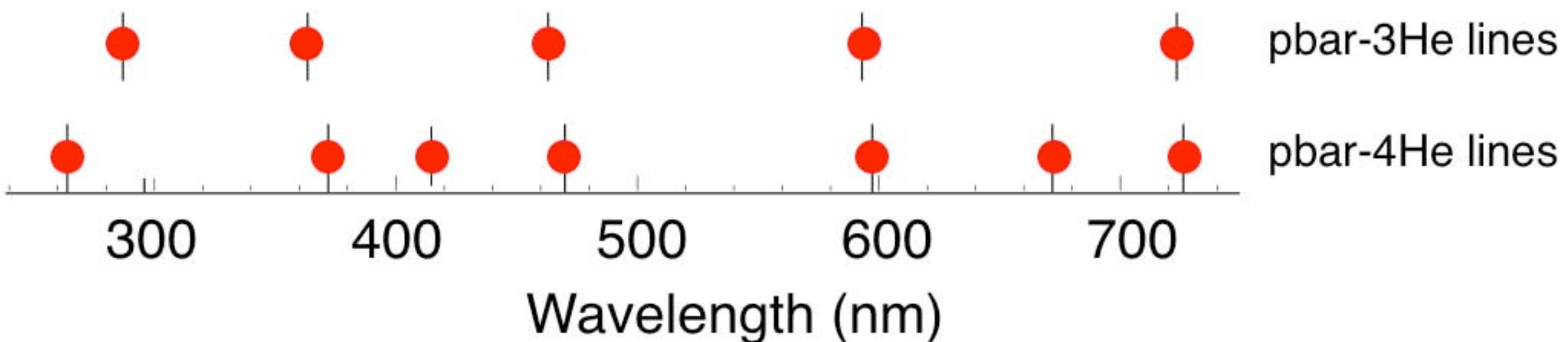


質量比

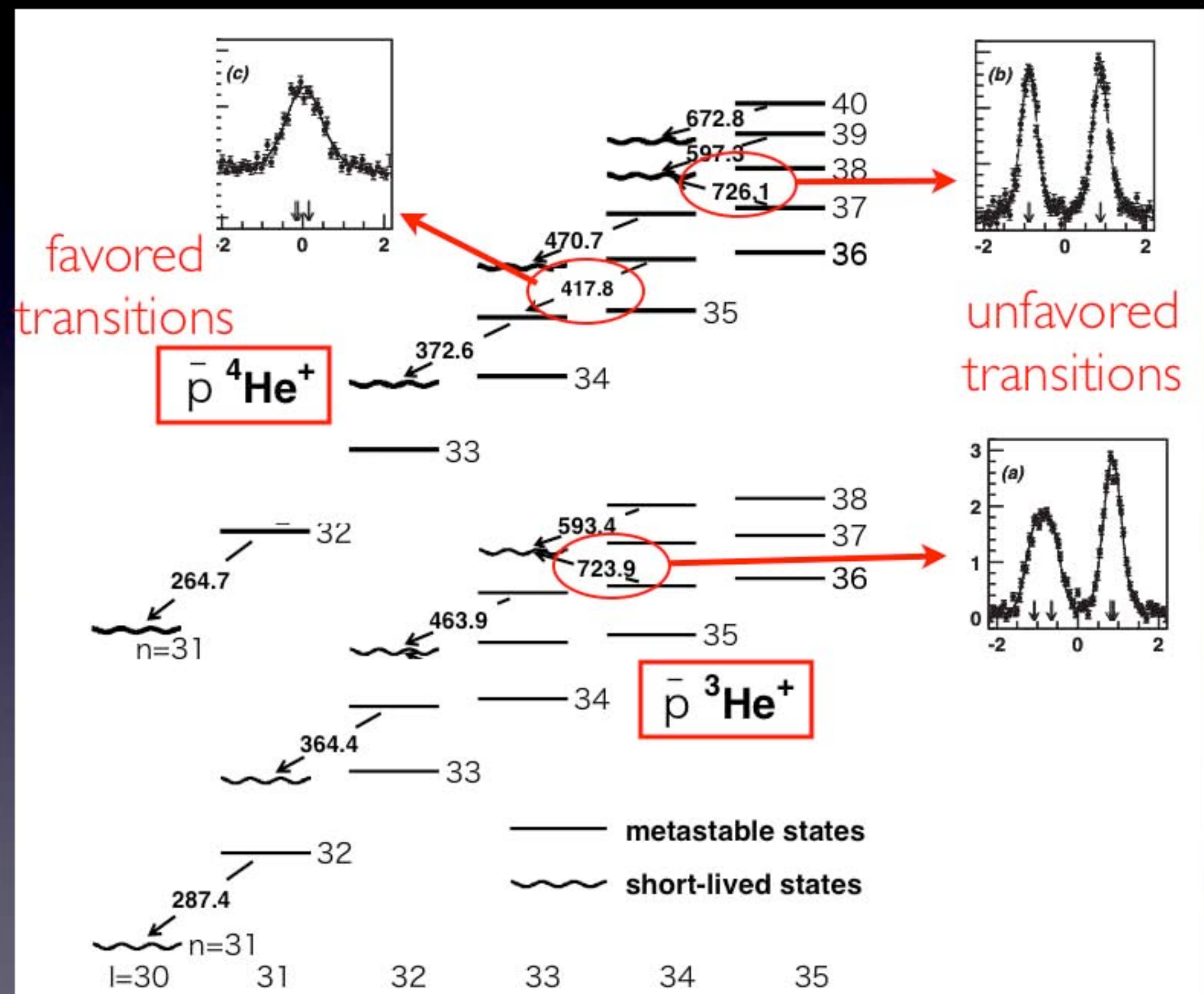
How to obtain
 $m_{\bar{p}}/m_e$



wavelengths of the resonance lines



12 transitions were measured



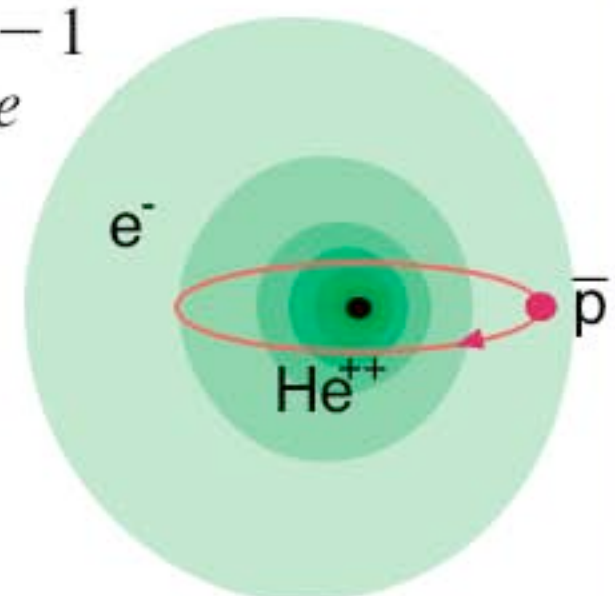
理論

and the results were compared with
(spinless) 3-body QED theoretical calculations

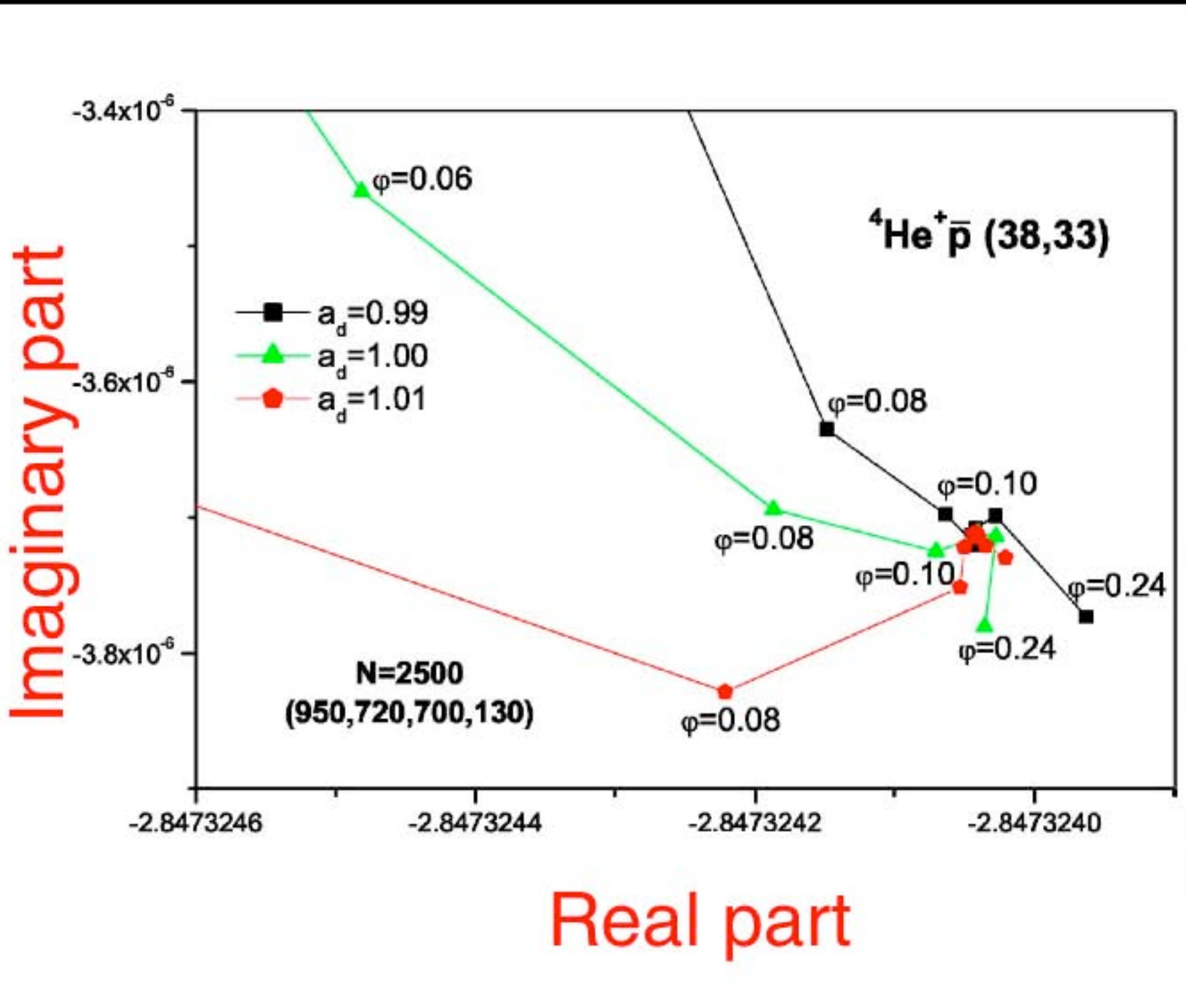
Theory - non-relativistic H

$$\begin{aligned}
 H &= T + V \\
 &= -\frac{1}{2\mu_1} \nabla_{\mathbf{R}}^2 - \frac{1}{2\mu_2} \nabla_{\mathbf{r}}^2 - \frac{1}{M_{\text{He}}} \nabla_{\mathbf{R}} \cdot \nabla_{\mathbf{r}} - \frac{2}{R} - \frac{2}{r} + \frac{1}{|\mathbf{R} - \mathbf{r}|}, \\
 \mu_1^{-1} &= M_{\text{He}}^{-1} + M_X^{-1}, \quad \mu_2^{-1} = M_{\text{He}}^{-1} + m_e^{-1}
 \end{aligned}$$

antiproton electron



Complex coordinate rotation (CCR) method



Not true bound states

Careful treatment of
Auger decay is needed

CCR calculates
complex eigen values

Korobov

add relativistic correction (~ 100 ppm)

$$H = T + V$$

$$= -\frac{1}{2\mu_1}\nabla_{\mathbf{R}}^2 - \frac{1}{2\mu_2}\nabla_{\mathbf{r}}^2 - \frac{1}{M_{\text{He}}}\nabla_{\mathbf{R}} \cdot \nabla_{\mathbf{r}} - \frac{2}{R} - \frac{2}{r} + \frac{1}{|\mathbf{R}-\mathbf{r}|},$$

$$\mu_1^{-1} = M_{\text{He}}^{-1} + M_X^{-1}, \quad \mu_2^{-1} = M_{\text{He}}^{-1} + m_e^{-1},$$

$$E_{rc} = \alpha^2 \left\langle -\frac{\mathbf{p}_e^4}{8m_e^3} + \frac{4\pi}{8m_e^2} [Z_{\text{He}}\delta(\mathbf{r}_{\text{He}}) + Z_p^-\delta(\mathbf{r}_p^-)] \right\rangle.$$

add self energy (~ 15 ppm)

$$H = T + V$$

$$= -\frac{1}{2\mu_1} \nabla_{\mathbf{R}}^2 - \frac{1}{2\mu_2} \nabla_{\mathbf{r}}^2 - \frac{1}{M_{\text{He}}} \nabla_{\mathbf{R}} \cdot \nabla_{\mathbf{r}} - \frac{2}{R} - \frac{2}{r} + \frac{1}{|\mathbf{R} - \mathbf{r}|},$$

$$\mu_1^{-1} = M_{\text{He}}^{-1} + M_X^{-1}, \quad \mu_2^{-1} = M_{\text{He}}^{-1} + m_e^{-1},$$

$$E_{rc} = \alpha^2 \left\langle -\frac{\mathbf{p}_e^4}{8m_e^3} + \frac{4\pi}{8m_e^2} [Z_{\text{He}} \delta(\mathbf{r}_{\text{He}}) + Z_p^- \delta(\mathbf{r}_p^-)] \right\rangle.$$

Bethe logarithm

$$E_{se} = \frac{4\alpha^3}{3m_e^2} \left[\ln \frac{1}{\alpha^2} - \ln \frac{k_0}{R_\infty} + \frac{5}{6} - \frac{3}{8} \right] \langle Z_{\text{He}} \delta(\mathbf{r}_{\text{He}}) + Z_p^- \delta(\mathbf{r}_p^-) \rangle$$

$$+ \frac{4\alpha^4}{3m_e^2} \left[3\pi \left(\frac{139}{128} - \frac{1}{2} \ln 2 \right) \right] \langle Z_{\text{He}}^2 \delta(\mathbf{r}_{\text{He}}) + Z_p^2 \delta(\mathbf{r}_p^-) \rangle$$

$$- \frac{4\alpha^5}{3m_e^2} \left[\frac{3}{4} \right] \langle Z_{\text{He}}^3 \ln^2(Z_{\text{He}} \alpha)^{-2} \delta(\mathbf{r}_{\text{He}})$$

$$+ Z_p^3 \ln^2(Z_p^- \alpha)^{-2} \delta(\mathbf{r}_p^-) \rangle,$$

(39,35) → (38,34) example (Korobov)

$$E_{nr} = 501\,972\,347.9$$

$$E_{rc} = -27\,525.3$$

$$E_{rc-qed} = 233.3$$

$$E_{se} = 3\,818.0$$

$$E_{vp} = -122.5$$

$$E_{kin} = 37.3$$

$$E_{exch} = -34.7$$

$$E_{\alpha^3-rec} = 0.8$$

$$E_{two-loop} = 0.9$$

$$E_{nuc} = 2.4$$

$$E_{\alpha^4} = -2.6$$

$$E_{total} = 501\,948\,755.6(1.3) \text{ MHz}$$

$$\Delta E_{vp} = \frac{4z_i\alpha^3}{3m_3^2} \left[-\frac{1}{5} + (z_i\alpha)\pi \frac{5}{64} \right] \langle \delta(\mathbf{r}_i) \rangle,$$

$$\Delta E_{kin} = \alpha^2 \left\langle -\frac{\nabla_1^4}{8m_1^3} - \frac{\nabla_2^4}{8m_2^3} + \frac{(1+2a_2)z_2}{8m_2^2} 4\pi \delta(\mathbf{r}_2) \right\rangle,$$

$$\Delta E_{exch} = -\alpha^2 \frac{z_i}{2m_i m_3} \left\langle \frac{\nabla_i \nabla_3}{r_i} + \frac{\mathbf{r}_i (\mathbf{r}_i \nabla_i) \nabla_3}{r_i^3} \right\rangle,$$

$$\Delta E_{recoil}^{(3)} = \frac{z_i\alpha^3}{m_i m_3} \left\{ \frac{2}{3} \left(-\ln \alpha - 4\beta + \frac{31}{3} \right) \langle \delta(\mathbf{r}_i) \rangle - \frac{14}{3} \langle Q(r_i) \rangle \right\},$$

$$\Delta E_{\text{two-loop}} = \alpha^4 \frac{z_i}{m_3^2 \pi} \left[-\frac{6131}{1296} - \frac{49\pi^2}{108} + 2\pi^2 \ln 2 - 3\zeta(3) \right] \langle \delta(\mathbf{r}_i) \rangle$$

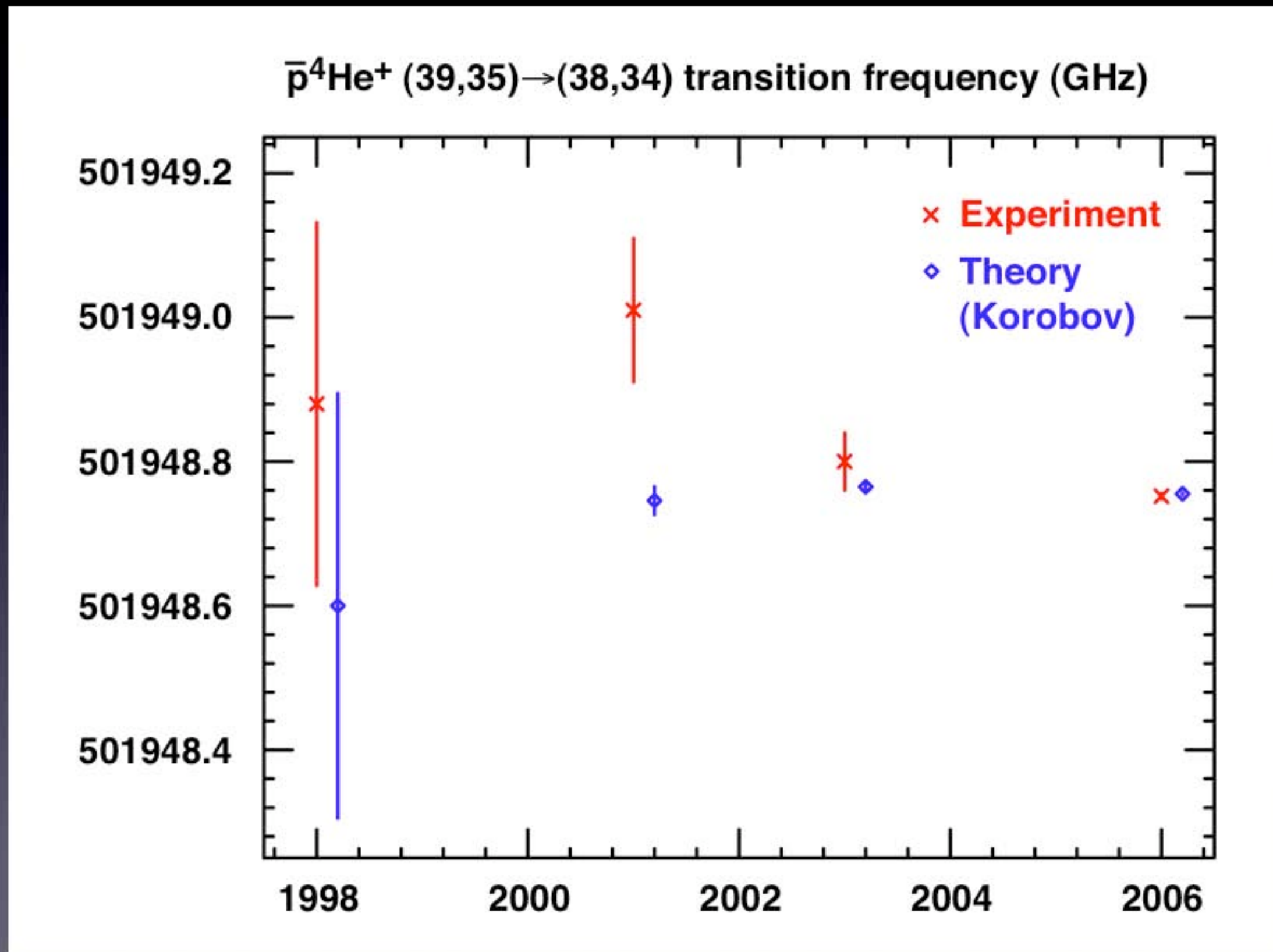
$$\Delta E_{nuc} = \frac{2\pi z_i (R_i/a_0)^2}{3} \langle \delta(\mathbf{r}_i) \rangle,$$

$$\Delta E_{\alpha^4} \approx -\alpha^4 \frac{\pi}{2} \delta(\mathbf{r}_1).$$

結果

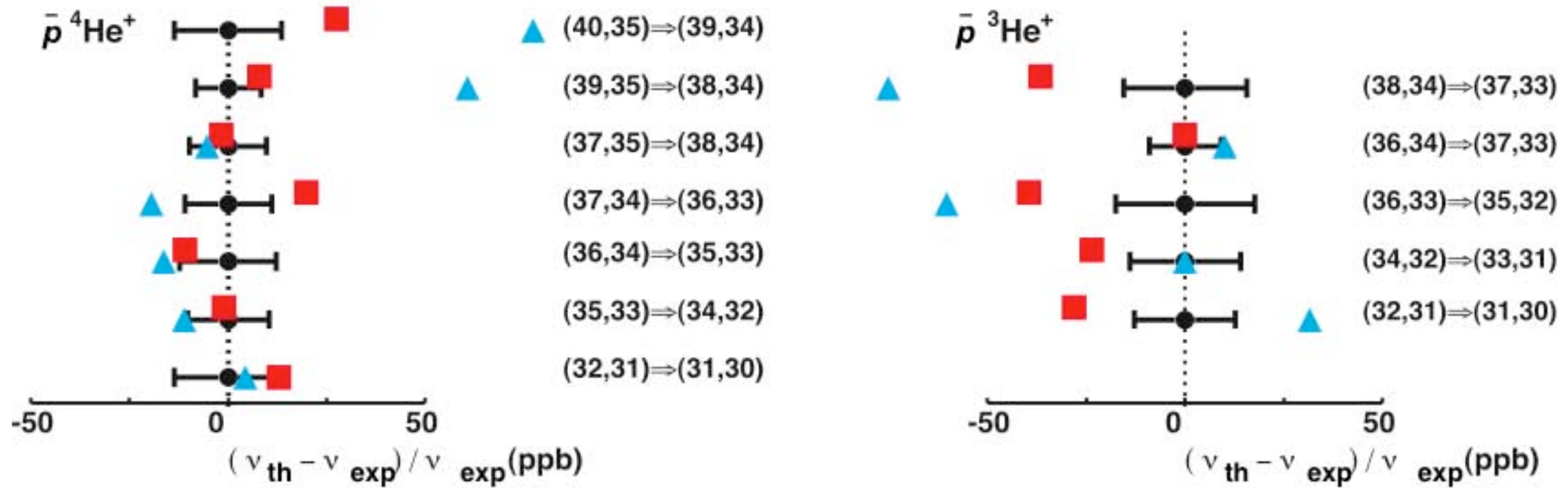
Results & Implications

Experimental & theoretical precisions improved



Exp vs Theory

Two theory calculations (\blacktriangle and \blacksquare)



- Up to ~50 ppb differences between the two theoretical calculations (\blacktriangle and \blacksquare) ; we now take \blacksquare in view of the claimed accuracy
- Systematic shift of some 20 ppb in $p^3\text{He}$?

Errors

$\sigma_{\text{exp}} = 4-15 \text{ MHz}$

statistical 3-13 MHz,

systematic: chirp 2-4 MHz, collisional shifts 0.1-2 MHz,
harmonic generation 1-2 MHz

(and negligible AC-Stark)

$\sigma_{\text{theory}} = 1-2 \text{ MHz}$ (Korobov)

$$m_{\bar{p}}/m_e = 1836.152674$$

$$\pm 0.000005$$

ASACUSA2006
PRL 96, 243401 (2006)

$$m_p/m_e = 1836.15267261$$

$$\pm 0.00000085$$

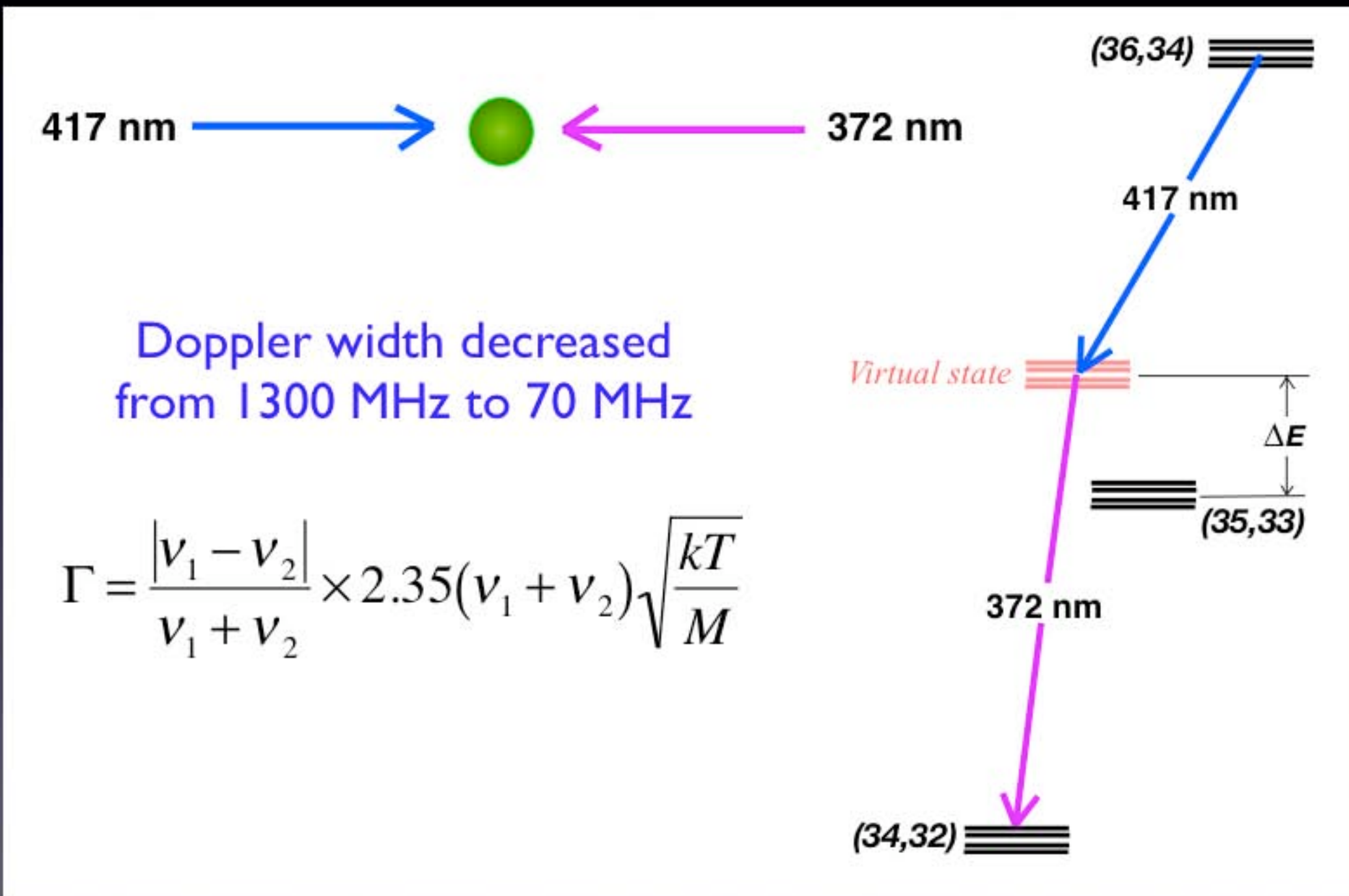
codata2002

2007

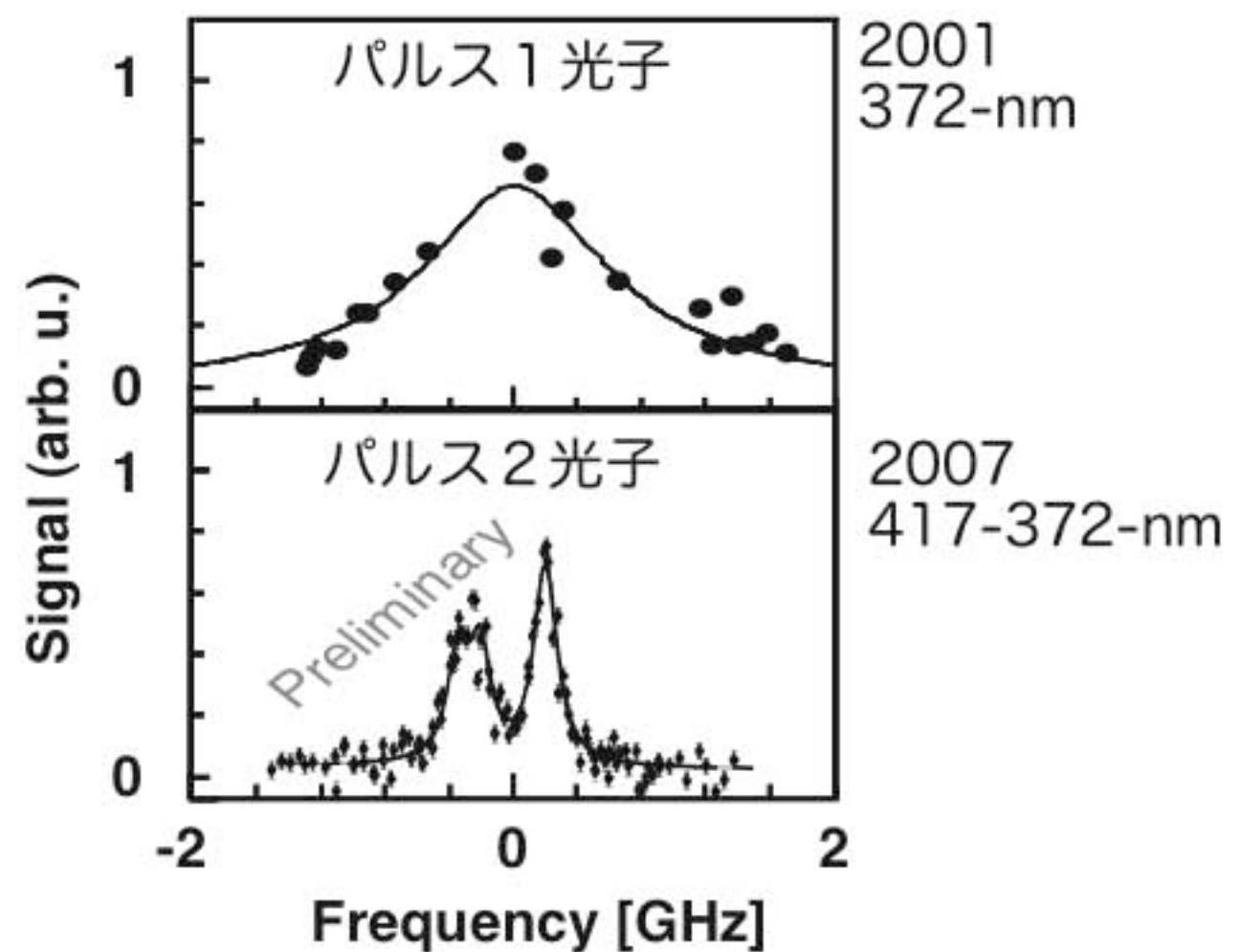
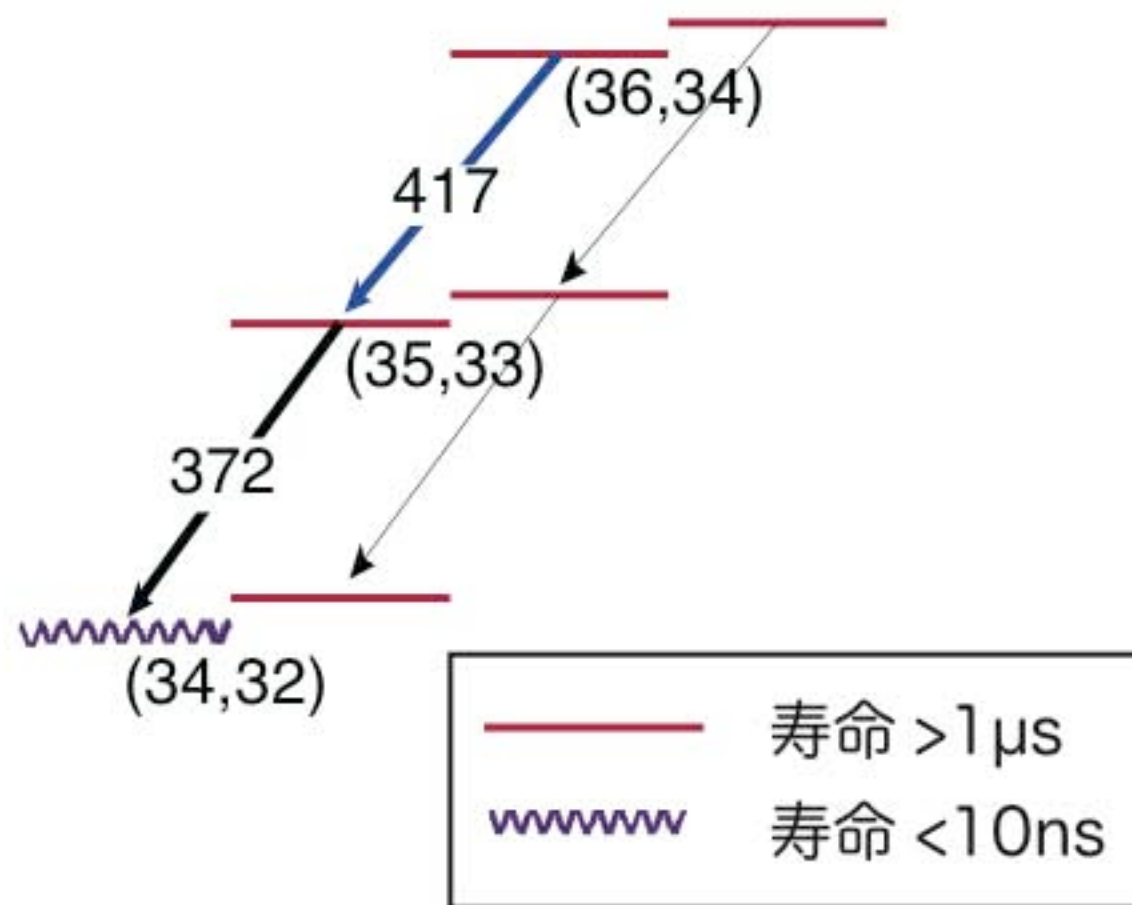
ongoing effort

幅の要因		シフトの要因	
自然幅	15MHz - 150kHz	衝突	RFQD
Fourier幅	パルスレーザ パルス長	チャーブ	~2MHz, パルスレーザ不可避
衝突	RFQD	周波数較正	光周波数comb
ドップラー幅	2光子分光	AC Stark	\propto Power
レーザ单色性	パルスレーザ →CWLレーザ	(理論)	~MHz?

Sub-Doppler two-photon laser spectroscopy



線幅大幅に減少





CODATA 98



CODATA 02



ASACUSA 2006

being considered for the codata 06
adjustments



Projected 2007?



$6.5 \quad 7.0 \quad 7.5 \times 10^{-4}$

mass ratio -1836.1526

パルスレーザーの限界に達した

吹

まだまだやるぞ

パルスレーザーをやめるしかない

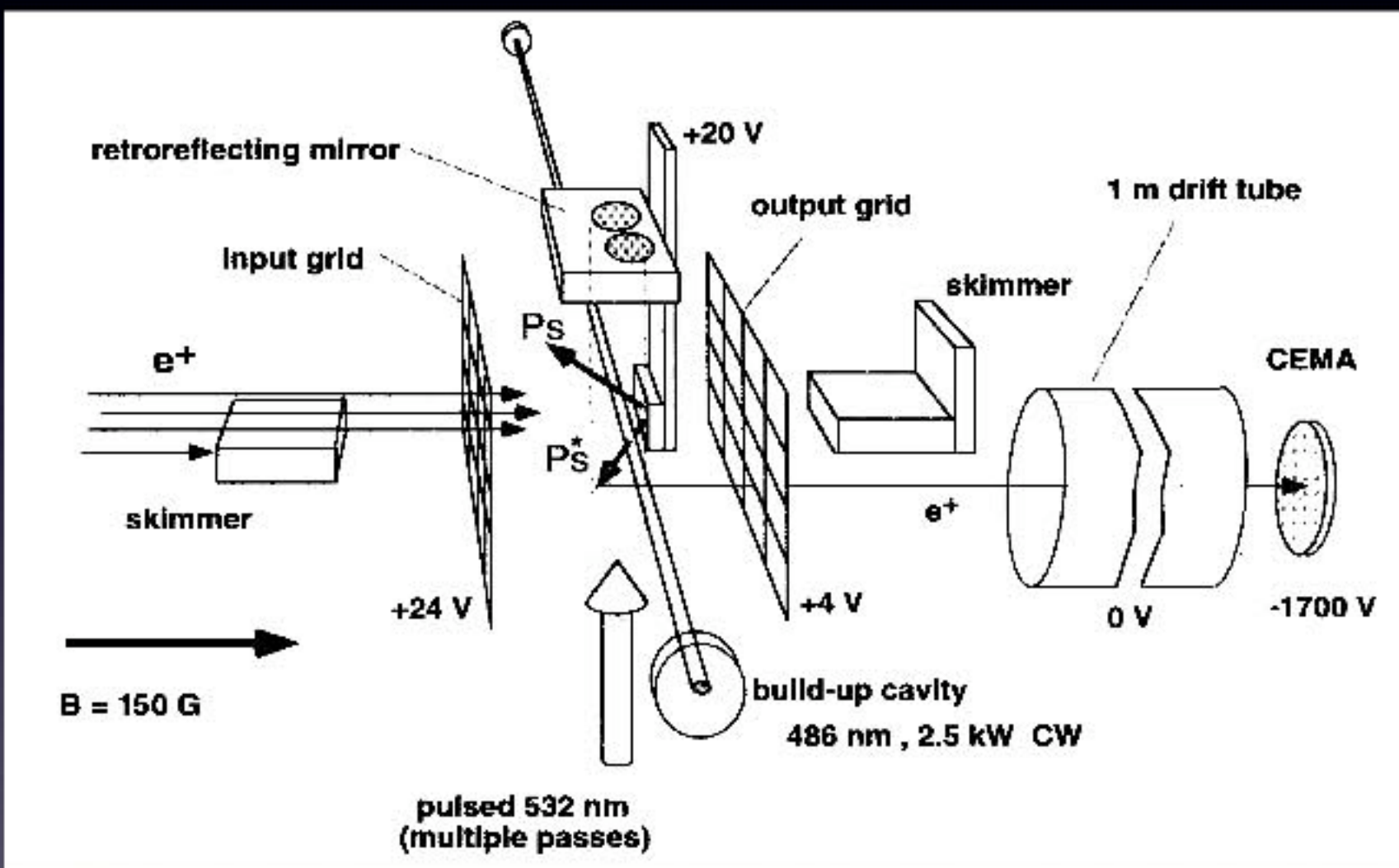
幅の要因		シフトの要因	
自然幅	15MHz - 150kHz	衝突	RFQD
Fourier幅	パルスレーザー パルス長	チャーブ	~2MHz, パルスレーザー不可避
衝突	RFQD	周波数較正	光周波数comb
トーチップラ幅	2光子分光	AC Stark	\propto Power
レーザー単色性	パルスレーザー →CWLレーザー	(理論)	~MHz?

エキゾチック原子のレーザー分光

$\mu^+ e^-$	meyer et al, PRL 84 (2000) 1136	pulse	2455528941.0(9.8)
$e^+ e^-$	Danzmann et al, PRA 39 (1989) 5072	pulse	1233607218.9(10.7)
$e^+ e^-$	Fee et al, PRA 48 (1993) 192	CW	1233607216.4(3.2)
$\mu^- p$	PSI in progress	pulse	no signal yet
$(\mu^- He)^+$	Zavattini et al	pulse	questionable
$\bar{p}He$	ASACUSA	pulse, so far	2007 very preliminary 1553643100.0(5.0)

the only exotic atom studied by a CW laser system so far... e^+e^-

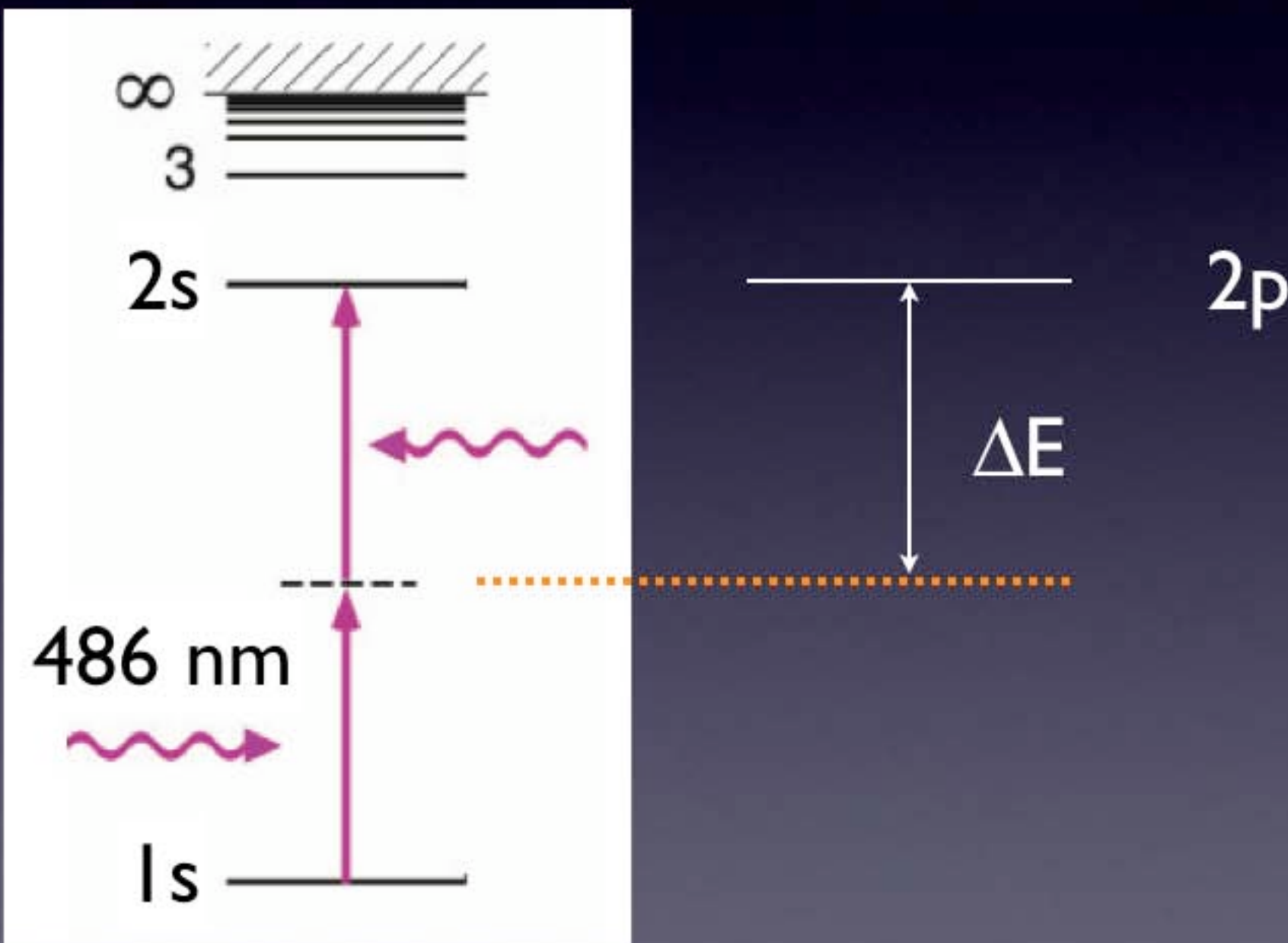
M.S. Fee et al, Phys. Rev. A 48 (1993) 192



2.5 kW CW laser power, power density 1.7 MW/cm^2
これはパルスレーザー負けの大強度だ...

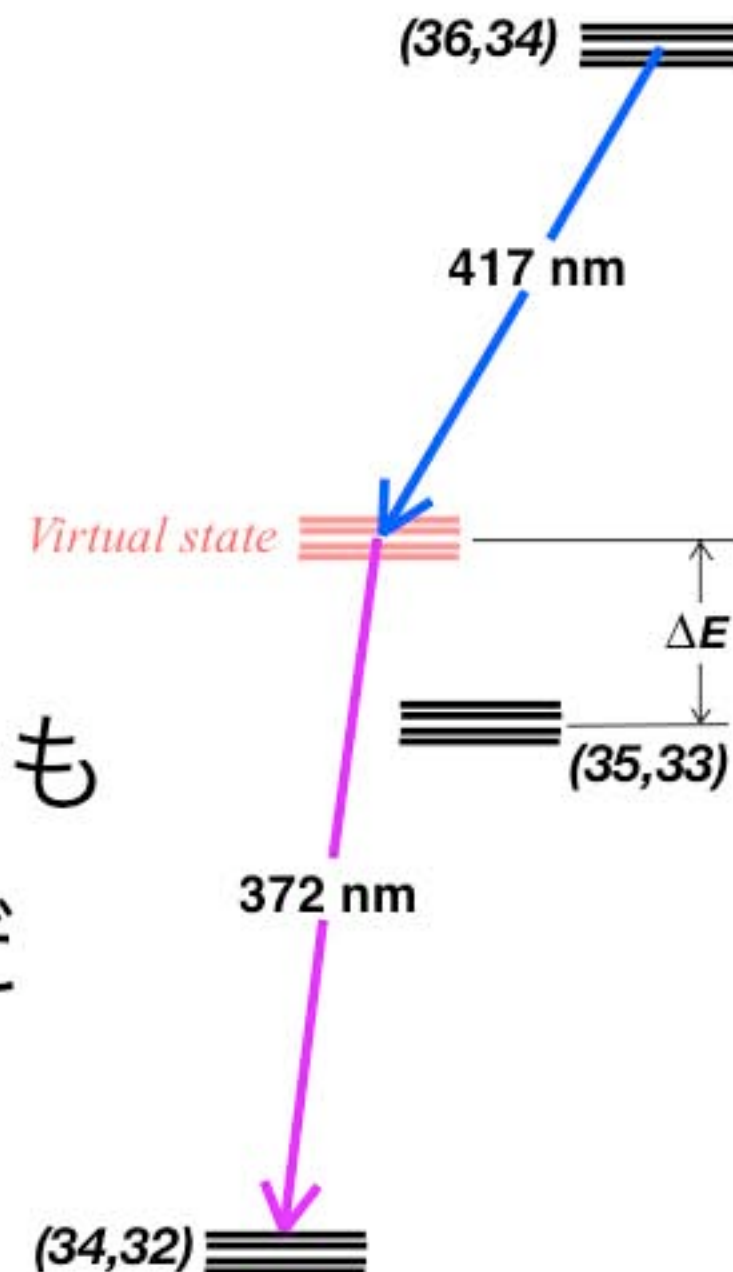
巨大パワーが必要な理由

$$\text{power density} \propto \Delta E$$



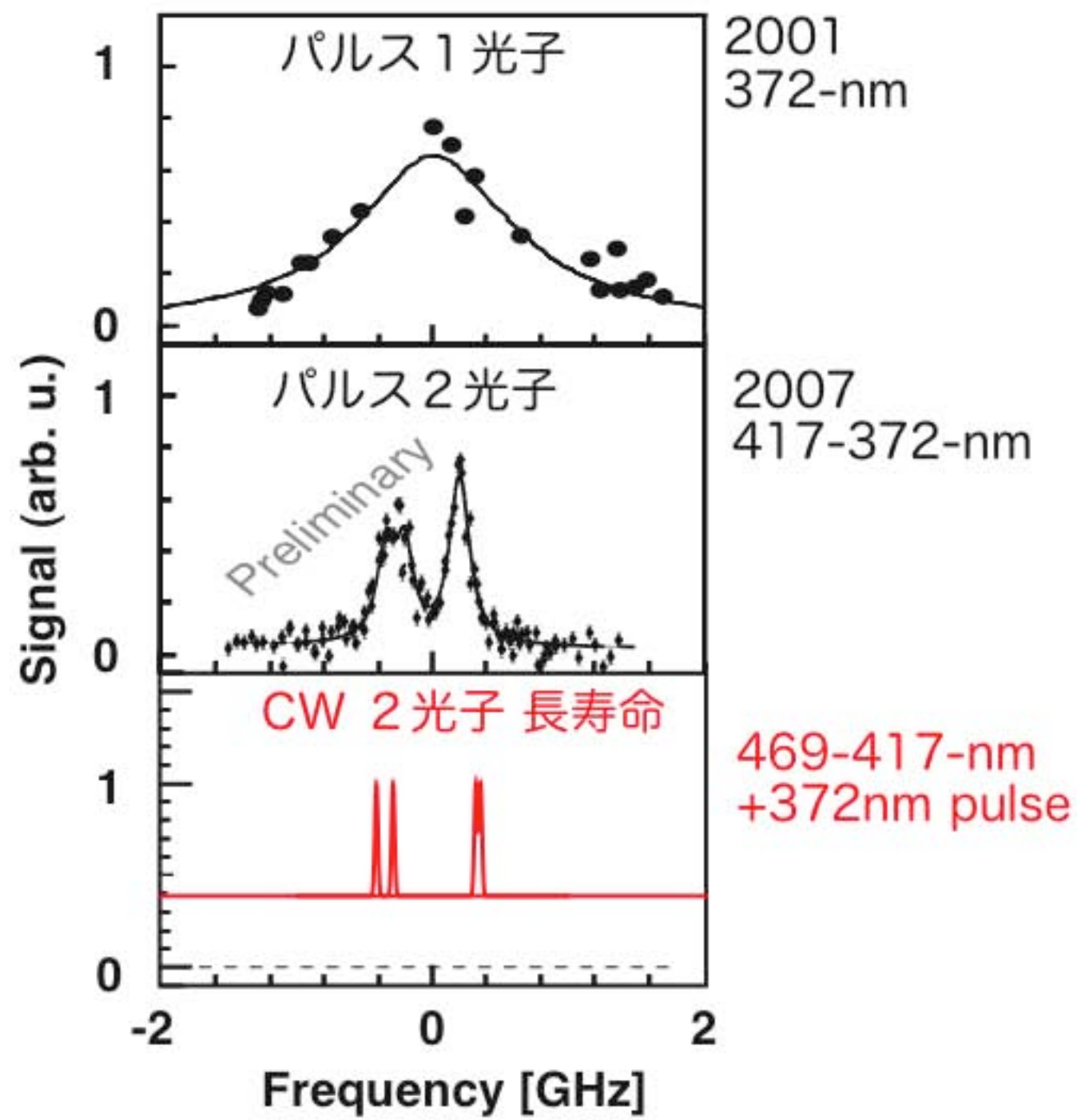
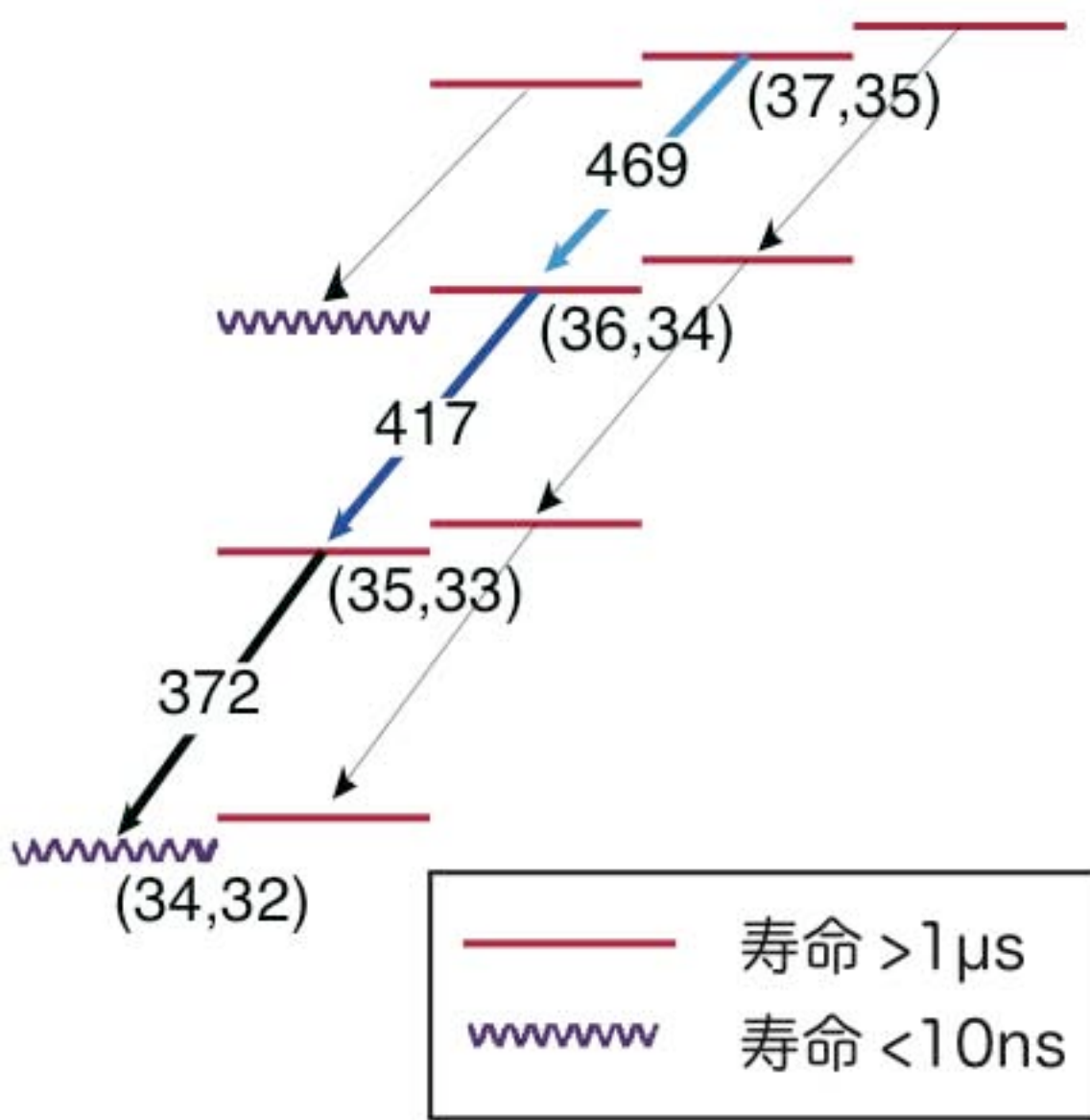
しかし lucky なことに我々は $\Delta E \rightarrow 0$ にできる

パワー密度 $\propto \Delta E$
 $\Delta E \rightarrow 0$ とすると
CW レーザーでも可能かも
 $< 100 \text{W/cm}^2$ でよさそうだ



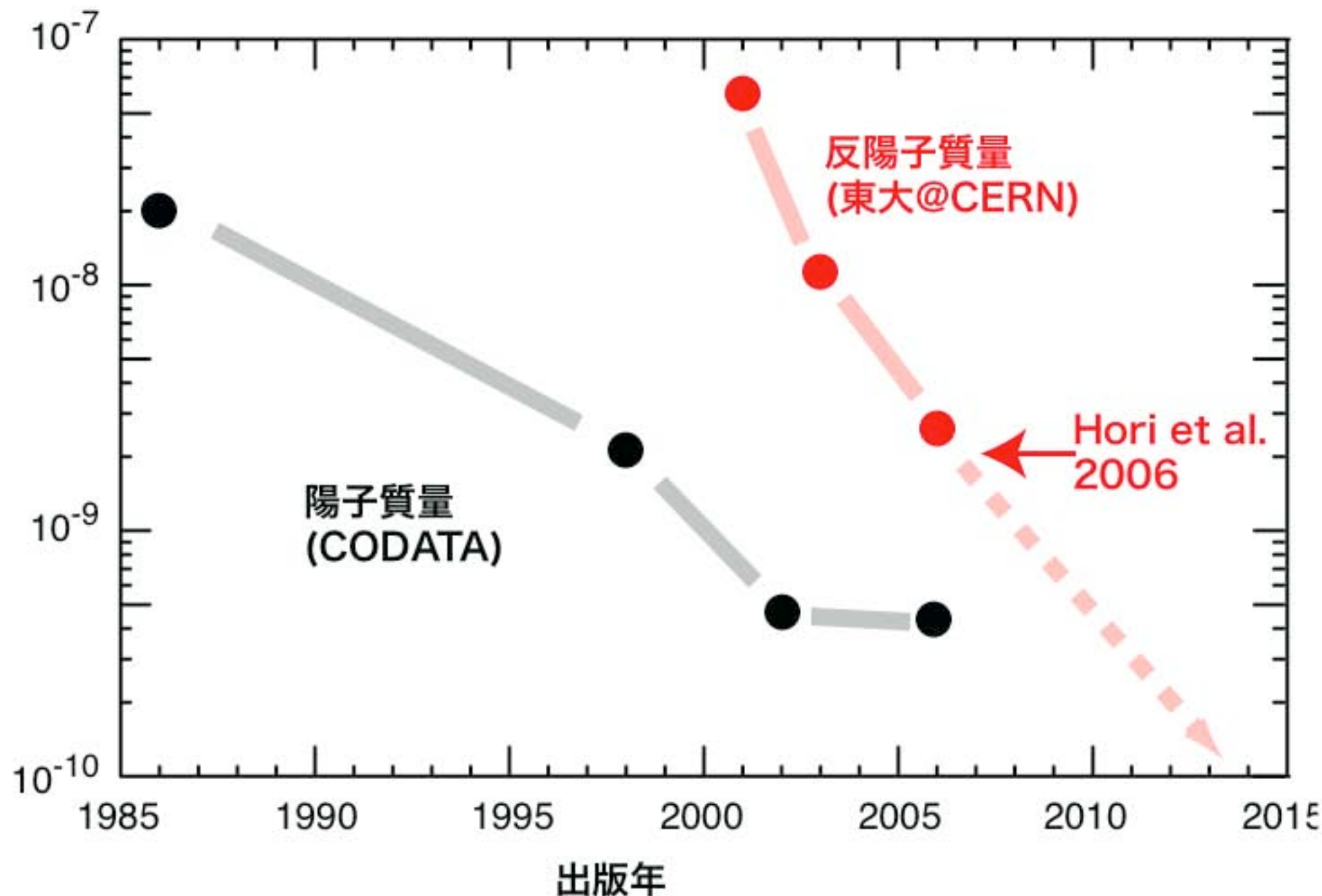
究極の実験

CW, 二光子, 準安定準位間遷移



antiproton mass may become better known

相対標準不確かさ



density shift
RFQD
Comb
2-photon
CW

結

summary

Serendipitous discovery

Precision of \bar{p} He spectroscopy has reached 10^{-9}
(RFQ, Comb, ..., took us a long time)

$\times 100$ improvement possible (nontrivial but doable),

Update the fundamental constant (m_p/m_e)

but

Must better understand 3-body QED calculations

Masaki Hori, EURYI 受賞 (European Young Investigator Awards)



賞金 2億円で独立研究グループを作る